



YILDIZ TEKNİK ÜNİVERSİTESİ
FEN BİLİMLERİ ENSTİTÜSÜ

Perouse-Yapıcık Kolej Küresel Med. Üs İİBİ Sıvı Kar. Yap. Fak. No.

Yüksek Lisans Tezi

BİRTAN KAVANCI

YILDIZ TEKNİK ÜNİVERSİTESİ
KÜTÜPHANE DOKÜMANTASYON
DAİRE BAŞKANLIĞI

R 210

Kot : 30
Alındığı Yer : Fen Bilimleri Endt.
Tarih : 19.03.1992
Fatura :
Fiyatı : 15.000,- TL
Ayniyat No : 1/1
Kayıt No : 48220
UDC : 530
Ek :



YILDIZ ÜNİVERSİTESİ

YILDIZ ÜNİVERSİTESİ

D.B. No 46060

FEN BİLİMLERİ ENSTİTÜSÜ

10. *What is the best way to increase sales?*

30

YÜKSEK LİSANS TEZİ

H. BİRTAN KAVANOZ



İSTANBUL 1989

İÇİNDEKİLER

TEŞEKKUR

ÖZET

SUMMARY

BÖLÜM I	: GİRİŞ	1
I.1	: Maddenin Halleri	1
I.2	: Kristal Olmayan Malzemeler	2
BÖLÜM II	: YAPI FAKTÖRLERİ	9
BÖLÜM III	: İKİLİ SIVI KARIŞIMLARIN YAPISI	14
III.1:	Kısmi Yapı Faktörleri	14
III.2:	Çeşitli Haller için Hesaplanan Kısmi Yapı Faktörleri	19
III.3:	Fe-Si Sıvı Karışımı için Kısmi Yapı Faktörleri	31
BÖLÜM IV	: SONUÇLAR ve TARTIŞMA	34
EK	: Hesap Edilen $S_{1j}(y)$ Kısmi Yapı Faktörleri	

KAYNAKLAR

TEŞEKKÜR

Bu çalışmamda, sağladığı eğitim ve teknik imkanlar
dolayısıyla dekanımız sayın Prof.Dr. Şevket ERK'e
teşekkürler bir borç bilirim.

Tezimin danışmanlığını üstlenen, çalışmamın her aşamasında beni yönlendiren, öneri ve bilgilerinden yararlanan bölüm başkanımız hocam sayın Prof.Dr. İdris GÜMÜŞ'e çok teşekkür ederim.

Ayrıca, çalışmamda beni destekleyen ve yardımlarını gördüğüm tüm arkadaşlara teşekkür ederim.
Partisiçi. Fe-Si Karşımı için hazırlanan yapı
yakınları öncüsel verilerle karşılaştırıldı.

ÖZET

Bu çalışmada, Percus-Yevick katı küre modelinin ikili sistem için analitik çözümlerinin iki bileşenli sıvı karışımının yapısını anlatabileceği ve üç kısmi yapı faktörünün η , α ve x parametreleri cinsinden numerik olarak hesaplanabildiği incelendi.

Değişik haller için hesaplanan kısmi yapı faktörleri tartışıldı. Fe-Si karışımı için hesaplanan yapı faktörleri deneysel verilerle karşılaştırıldı.

BÖLÜM 1

GİRİŞ

1.1) MADDELER HALİLERİ

Maddenin fiziksel haliini göstermek istenilir. Kati, sıvı ve gaz. Ondokuz MAYIS ÜNİVERSİTESİ

SUMMARY

In this work, it has been studied that analytic solutions of Percus-Yevick Hard-Sphere Model for binary system can describe the structure of two-component liquid mixtures and three partial structure factors can be computed in term of η , α , and x parameters.

It has been discussed partial structure factors computed for different cases. Structure factors computed for Fe-Si mixture are compared with experimental data.

KURUMSAL KATKI: Sayılar, sıvı halde atom dağılımı kesi hale nesaren daha fazla dimensiyondur ve gaz halindeki atom dağılımına göre yakın mesafelerde dengelidir. Bu ekik olmayan bir durum, sıvı halin yapısını temsil edecek modelin kurulmasına engeller ve bu nedenle sıvı hal kuramı, gaz ve kati hal kuramlarına göre yazılıcak hedeflerdeki (1,2,3,4,5,6,7)

AYRICA, sıvı veya gazın hal diriye adlandırılabilir.

BÖLÜM I**GİRİŞ****(I.1) MADDENİN HALLERİ**

Maddenin fiziksel halleri üç sınıfa ayrılabilir; katı, sıvı ve gaz. Ondokuzuncu yüzyılın sonuna kadar gaz halinin kuramında ve yirminci yüzyıl içerisinde katı halin kuramında bütütük gelişmeler elde edilmiştir. Gaz ve katı hale karşı, sıvı halin kuramı yavaş aşamalar yapmış gibi görülmektedir. Bunun başlıca sebepleri şunlardır:

Gaz halinde atomlar rastgele dağılırlar ve atomların hareketi tamamen düzensizdir. Diğer taraftan katı halde atomlar üç boyutlu örgüntün belli noktalarında titreşirler. Atomların dağılımındaki bu iki zıt durum, bu iki hale ait yapıyı tanımlamak üzere basit modellerin kurulmasına katkı sağlar. Sıvı halde atom dağılımı katı hale nazaran daha düzensizdir ve gaz halindaki atom dağılımına göre yakın mesafelerde düzenlidir. Bu açık olmayan ara durum, sıvı halin yapısını temsil edecek modelin kurulmasını engeller ve bu nedenle sıvı hal kuramı, gaz ve katı hal kuramlarına göre yavaş gelişme kaydetmektedir. [1,2,3,4,5,6,7]

Ayrıca, amorf veya camsı hal diye adlandırılan bir

özel hal vardır. Bu hal genel olarak erimis maddeyi hızlı soğutma ile elde edilir ve sıvı halinkine çok yakın bir atom dağılımına sahiptir.

(I.2) KRİSTAL OLМАYAN MALZEMELER

Kristal olmayan malzemeler sıvı ve amorf olarak iki grup altında toplanabilir. Sıvı yapıda metaller, alaşımaları, oksidler, tuzlar ve kompleksleri; amorf yapıda metalik camlar ve amorf yarı iletkenler örnek olarak sıralanabilir. Amorf yapı katı olmasına karşın atom dağılımı yönünden sıvı hale çok yakındır. Bu malzemelerin değişik fiziksel özelliklerine ait problemlere deneysel ve kuramsal olarak büyük gayretler sarfedilmektedir. [5]

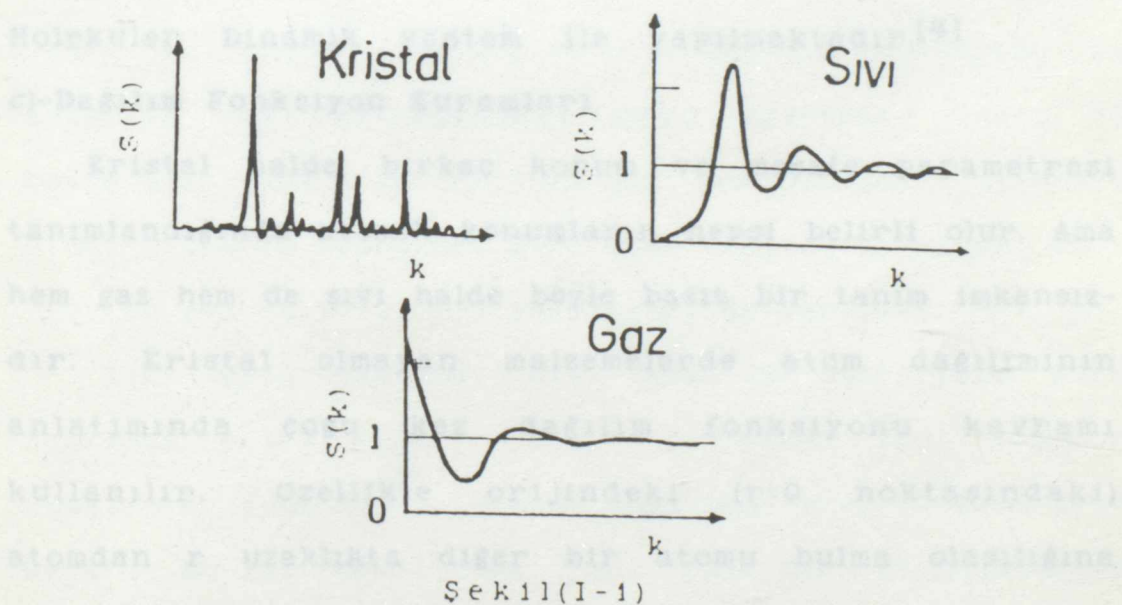
Bu problemlerin nicel tartışması için yapı hakkındaki bilgiler temel teşkil etmektedir ve bundan sonra fiziksel özelliklere ait problemleri çözmek mümkün olabilecektir. Bu nedenle ilk önce yapılması gereken malzemenin yapısı hakkında bilgi edinmektir.

Kristal olmayan malzemelerin yapısı aşağıdaki yöntemlerle incelenmektedir.

a)-Deneysel Yöntemler

Sıvı alaşımaların yapıları hakkındaki deneysel bilgiler X-ışınları veya nötron kırınım teknikleri ile elde edilirler. [6] Tek çeşit atomlardan meydana gelen bir gaz için saçılan ışın yoğunluğu eğrisinin hemen hemen şekilsiz olması atomların yerleri arasında hiçbir

ilişkinin olmadığını gösterir. Kristal yapıda bir katı için saçılan ışın yoğunluğu son derece keskin pikler gösterir. Bu durum kristal yapı içerisinde atom yerleri arasında bulunan bağıntıyı açıklar. Sıvılara gelince, tek atomlu bir sıvıdan elde edilen saçılma yoğunluğu eğrisi, katı faz ve gaz fazı arasında yer alır. Pik yoğunlıklarını ve yerleri ne gaz fazındaki gibi düzensiz ne de katı fazındaki gibi keskindir. Buradaki saçılma yoğunluğu denilen $S(k)$ bütünlüğünü yapı faktörüne karşılık gelir ve ikili sıvı alaşımalar için $S_{1j}(k)$ ($i,j=1,2$) şeklinde verilir ve \vec{k} dalga vektörü olmak üzere kısmi yapı faktörleri diye adlandırılır. Katı, sıvı ve gaz hali için karakteristik $S(k)$ yapı faktörleri Şekil(I-1)'de verilmiştir.^[5]



Sıvı hale örnek verilen $S(k)$ eğrisinde görülen ilk pik kısa menzilde atom yerleri arasında var olan düzenliliği gösterir. Dalga vektörünün büyük değerleri için $S(k)$

asimtotik olarak birim büyüklüğe yaklaşır.

b)-Bilgisayar Simülasyon Yöntemleri

Son zamanlarda büyük hafızalı ve çok hızlı bilgisayarların yardımıyla nümerik model simülasyonu kurmak ve bu sonuçları amorf katıların ve sıvıların yapısına ilişkin deneylerle karşılaştırmak mümkün olmuştur. Sıvı yapıyı incelemek için oldukça yeni olan bu yönteme çoğu kez bilgisayar deneyleri adı verilir. Her ne kadar bilgisayar simülasyon yöntemler sınırlı sayıda parçacık (birkaç yüz veya bin) gibi böyle bazı kısıtlamaları ve sınır koşulu içerirlerse de, bilgisayar deneyleri iyi tanımlanmış model için oldukça uygun verileri sağlarlar. Sıvı yapı için bilgisayar deneyleri Monte Carlo yöntemi ve Moleküller Dinamik yöntem ile yapılmaktadır.^[4]

c)-Dağılım Fonksiyon Kuramları

Kristal halde, birkaç konum ve mesafe parametresi tanımlandığında atomik konumların hepsi belirli olur. Ama hem gaz hem de sıvı halde böyle basit bir tanım imkansızdır. Kristal olmayan malzemelerde atom dağılıminin anlatımında çoğu kez dağılım fonksiyonu kavramı kullanılır. Özellikle orijindeki ($r=0$ noktasındaki) atomdan r uzaklıkta diğer bir atomu bulma olasılığına karşılık olan $g(r)$ çift dağılım fonksiyonu kullanılır. $\rho_0=N/V$ ortalama sayı yoğunluklu bir sistemde orijindeki bir atomdan r mesafede bir başka atomu bulma olasılığı $\rho_0 g(r)$ 'ye karşılık gelir. $g(r)$ ile verilen bilgi sadece

tek boyutludur ama kristal olmayan sistemler hakkında nicel bilgi verir. Erime durumunda çift dağılım fonksiyonu $g(r)$ ile tanımlandığında, $\rho_0 g(r)$ olasılığı giderek r 'nin bütükk değerlerinde ρ_0 ortalama sayı yoğunluğuna yaklaşır, çünkü atomların konumuna ait korelasyonu mesafe arttıkça azalır. Bu durum,

$$\lim_{r \rightarrow \infty} g(r) = 1 \quad (I-1)$$

bağıntısı ile ifade edilir.

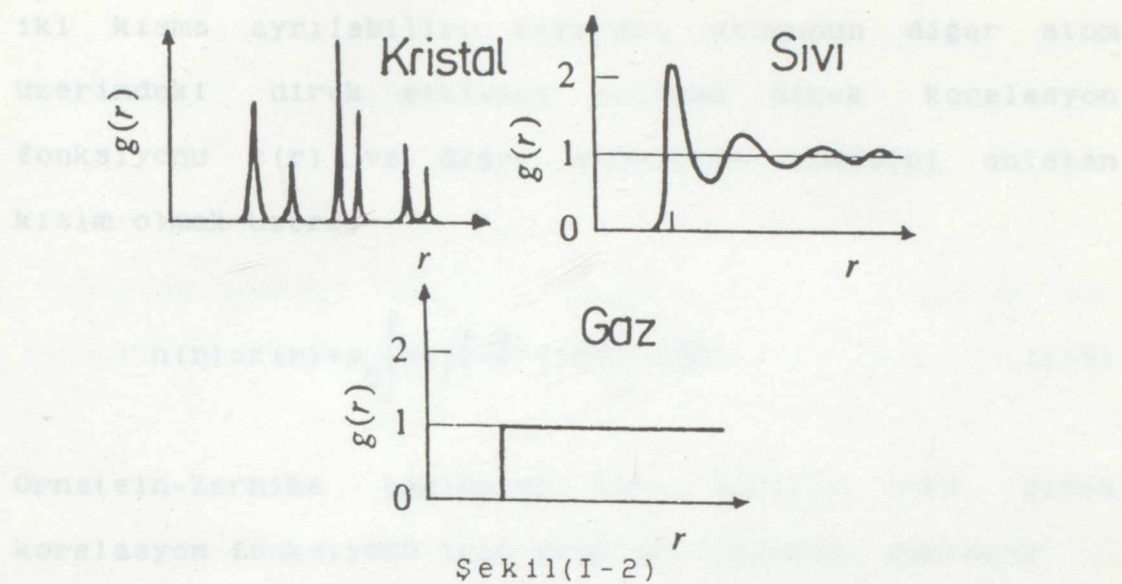
Diger taraftan, atomlar çift potansiyeldeki itmeden dolayı atom çekirdek çapı içine karşılıklı olarak yaklaşamazlar ve onun için ~~noter paraçetamol arasındaki~~

$$\lim_{r \rightarrow 0} g(r) = 0 \quad (I-2)$$

olur. Bu duşüncelerden $g(r)$ çift dağılım fonksiyonu ρ_0 ortalama sayı yoğunluğundan sapmayı gösterir. Tabii ki böyle bir sapma atom çekirdek çapı yakınındaki r değerlerinde nisbeten bütüktür. $g(r)$ için şematik diyagram katı sıvı ve gaz halleri için Şekil(I-2)'de verilir.

$S(k)$ yapı faktörü, çift dağılım fonksiyonu $g(r)$ hakkında bilgi verir. $g(r)$ ise belli bir atomdan uzaklığın fonksiyonu olarak ortalama atom yoğunluğunu verir. Bu iki önemli fonksiyon, çift dağılım fonksiyonu $g(r)$ ikili sıvı alaşımalar için $g_{ij}(r)$ şeklinde olmak üzere, matematiksel bir ifade ile birbirlerine bağlıdır:

$$g_{ij}(r) = 1 + \frac{1}{2\pi^2 \rho_0 r} \int k [S_{ij}(k) - 1] \sin(kr) dk \quad (I-3)$$



Kristal olmayan sistemlerin yapısı [$g(r)$ veya $S(k)$], verilen sıcaklık ve basınçta parçacıklar arasındaki etkileşmeye dayalı kuramlar ile hesap edilirler. Bu amaç için çift potansiyel ve çift dağılım fonksiyonu arasında aşağıdaki yaklaşık denklemler önerilmiştir:[1,4,5]

- 1- Born-Green denklemi,
- 2- Percus-Yevick denklemi,
- 3- Hypernetted-Chain denklemi.

Genellikle çift dağılım fonksiyonu yerine, bir korelasyon fonksiyonu kullanmak uygundur. Toplam korelasyon fonksiyonu $h(r)$,

$$h(r) = g(r) - 1 \quad (I-4)$$

olarak tanımlanır. $h(r)$ toplam korelasyon fonksiyonu referans atomunun $r = |\vec{r} - \vec{r}'|$ mesafedeki diğer atom üzerindeki toplam etkisinin bir ölçüsüdür ve tanıma göre

iki kısma ayrılabilir; referans atomunun diğer atom üzerindeki direkt etkisini anlatan direkt korelasyon fonksiyonu $c(r)$ ve diğer atomların etkisini anlatan kısım olmak üzere,

$$\text{Burdan sonraki bölümde, diffraksiyon deneyleriyle yapılmış faktör } h(r) = c(r) + \rho_0 \int c(|\vec{r} - \vec{r}'|) h(r') d\vec{r}' \text{ tartışılmaktadır. (I-5)}$$

Ornstein-Zernike bağıntısı ile verilir. $c(r)$ direkt korelasyon fonksiyonu için grup açılımından, yaklaşık

$$c(r) = g(r) [1 - \exp(\phi(r)/k_B T)] \quad (I-6)$$

Percus-Yevick denklemi, (I-5) Ornstein-Zernike denkleminde yerine konulursa,

$$g(r) \exp[\phi(r)/k_B T] = \\ 1 + \rho_0 \int [g(r') - 1] [1 - \exp[\phi(|\vec{r} - \vec{r}'|)/k_B T]] g(|\vec{r} - \vec{r}'|) d\vec{r}' \quad (I-7)$$

Percus-Yevick denklemi elde edilir. Burada T sıcaklık, $\phi(r)$ çift potansiyel ve k_B Boltzmann sabitidir.

(I-7) Percus-Yevick integral denklemi katı küre potansiyeli için kesin olarak çözülmüştür [8,9] ve çift dağılım fonksiyonu veya yapı faktörune ait analitik ifade elde edilmiştir. Percus-Yevick integral denkleminin katı küre çözümü sıvı metallerin yapısı için tartışılmıştır. [10] Percus-Yevick katı küre modelinin iki bileşenli sisteme genişletilmesi Lebowitz tarafından başarılımsız-

tır. [11] Lebowitz' in çözümleri Ashcroft-Langreth tarafindan ikilli sıvı karışımının yapısına uygulanmıştır. [12] ikilli sıvı karışımının yapısı III. Bölümde tekrar gözden geçirilecektir.

Bundan sonraki bölümde, difraksiyon deneyleriyle yapı faktörleri arasındaki temel ilişkiler tartışılacaktır. İlk bilinen, sıvılarla, sıvı sıvı difraksiyonu karşılamayan makromelerin yapısal çözümlemesinde en bilinen ve önemlidir. Sıvılar için X-ray difraksiyonun ilk serfin keşfi 1916'de Debye tarafından tartışılmıştır. Sıvı içindeki atom ve bunların sıvıda sıvıların birbirleri ile etkileşim yaptığı göz önüne alınırsa, iki atomun basit konumuna bağlı olan difraksiyon şiddetleri rtaya çıkar.

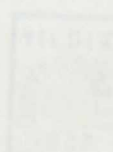
Selen ve selen X-raylarının dalga vectorlerinin sırası ile \vec{R}_0 ve \vec{R}_{100} , P konumunda açılan X-rayının faz faktörü $\exp(i\vec{k} \cdot \vec{R})$ ile ifade edilir.

Buna ek olarak:

$$\frac{d\sigma}{d\Omega} = \left(\frac{\rho}{\rho_0} \right)^2 \left(\frac{A}{A_0} \right)^2 \sin^2 \left(\frac{2\pi}{\lambda} \vec{R} \cdot \vec{k} \right) \quad (11-1)$$

bağlantısı elde edilir. Burada ρ , selenin yoğunluğu ve A gelen X-raylarının dalga boyudur. Selen X-raylarının genliği,

$$A(\vec{k}, \rho, \lambda) = A_0 \left(\frac{\rho}{\rho_0} \right)^2 \left(\frac{A}{A_0} \right)^2 \sin^2 \left(\frac{2\pi}{\lambda} \vec{R} \cdot \vec{k} \right) \quad (11-2)$$



ile verilir; burada $f_j(\vec{k})$, \vec{r} konumundaki j numaralı atomın
bir atomik saçılım faktöründür. Buna göre koheran saçılım
 X ışınısının şiddeti

BÖLÜM II

YAPI FAKTORLERİ

Maddenin yapısı tayininde X -ışınları ve nötronlar
kullanılır. Özellikle, X -ışın difraksiyonu kristal
olmayan malzemelerin yapısal çözümlemesinde en bilinen ve
önemli yöntemdir. Sıvılar için X -ışın difraksiyonunun ilk
defa kullanılışı 1915' de Debye tarafından tartışılmıştır.
Sıvı içinde iki atom ve bunların saçılıkları X -ışınlarının
birbirleri ile girişim yaptığı gözontine alınırsa, iki
atomun bağlı konumuna bağlı olan difraksiyon şiddetleri
ortaya çıkar.

Gelen ve saçılıan X -ışınlarının dalga vektörleri
sırası ile \vec{k}_0 ve \vec{k}' ise, \vec{r} konumunda saçılıan X -ışınlarının
faz faktörü $\exp[-i(\vec{k}' - \vec{k}_0) \cdot \vec{r}]$ ile ifade edilir.

Buna ek olarak,

$$k = \frac{2\pi}{\lambda} |\vec{k}' - \vec{k}_0| = \frac{4\pi}{\lambda} \sin\theta \quad (\text{II-1})$$

bağıntısı elde edilir; burada θ , saçılma açısının
yarısıdır ve λ gelen X -ışınlarının dalga boyudur.

Saçılıan X -ışınlarının genliği,

$$A(\vec{k}) = \sum_j f_j(\vec{k}) \exp(i\vec{k} \cdot \vec{r}_j) \quad (\text{II-2})$$



ile verilir; burada $f_j(\vec{k})$, \vec{r} konumundaki j numaralı atom'a ait atomik saçılma faktöründür. Buna göre koherent saçılan X ışınlarının şiddetini

$$\begin{aligned} I_{\text{koh}}(\vec{k}) &= \langle A^*(\vec{k}) A(\vec{k}) \rangle = \langle |A(\vec{k})|^2 \rangle \\ &= \left\langle \sum_i \sum_j f_i(\vec{k}) f_j(\vec{k}) \exp[-\vec{k}(\vec{r}_i - \vec{r}_j)] \right\rangle \quad (\text{II-3}) \end{aligned}$$

bağıntısı ile verilir; burada $\langle \rangle$ sembollerini istatistik ortalamayı gösterir.

Kristal halde, atomların $(\vec{r}_i - \vec{r}_j)$ bağıl konumu sabit bir değere sahiptir ve onun için k büyüklüğün resiprokal şebekeye karşılıktır. Bu resiprokal şebekenin özellikleri kendi kristal yapısı ile (FCC ve BCC gibi) belirlenir. Bu nedenle, kristal nitmune için $I_{\text{koh}}(\vec{k})$ birkaç keskin ve müstakil pik gösterir. Kristal olmayan nitmunerde, bu düzen kaybolduguuna göre (II-3) denkleminde toplam, hem sıvı hem de amorf haller için konuma ait korelasyonun bütün doğrultular türinden ortalama değeri ile ifade edilebilir. Buna ilave olarak, sıvılar ve amorf katılar gibi kristal olmayan sistemler için, küresel simetriiden dolayı $f(\vec{k})$ atomik saçılma faktörü ve $I_{\text{koh}}(\vec{k})$ şiddeti sadece \vec{k} nin $|\vec{k}|$ mutlak değerine bağlıdır.

İki bileşenli bir sistem için saçılan X-ışınlarının genişliği,

$$A(k) = f_1(k) \sum_{i=1}^{N_1} \exp(-ik \cdot \vec{r}_{i1}) + f_2(k) \sum_{j=1}^{N_2} \exp(-ik \cdot \vec{r}_{2j}) \quad (\text{II-4})$$

şeklinde yazılabilir; burada $N_1 + N_2 = N$ bir V hacmindeki atomların toplam sayısı, N_1 ve N_2 ise sırasıyla 1 ve 2 atomlarının sayısıdır. Bu nedenle, atom konsantrasyonları $C_1 = N_1/N$ ve $C_2 = N_2/N$ ile verilir. Koherent saçılma şiddeti, (II-3) ve (II-4) denklemleri kullanılarak,

$$\begin{aligned} I_{\text{koh}}(k) &= f_1^2(k) \left\langle \left| \sum_{i=1}^{N_1} \exp(-ik \cdot \vec{r}_{1i}) \right|^2 \right\rangle + \\ &f_2^2(k) \left\langle \left| \sum_{j=1}^{N_2} \exp(-ik \cdot \vec{r}_{2j}) \right|^2 \right\rangle + \\ &2 f_1(k) f_2(k) \left\langle \sum_{i=1}^{N_1} \sum_{j=1}^{N_2} \exp[-ik \cdot (\vec{r}_{1i} - \vec{r}_{1j})] \right\rangle \end{aligned} \quad (\text{II-5})$$

şeklinde ifade edilebilir. Buradaki terimler sırasıyla 1-1, 2-2 ve 1-2 atom çiftlerinin kısmi yapı faktörlerine karşılık gelir. Ama, kısmi yapı faktörlerinin tanımları tek degildir. Literatürde, ikili bir alaşımın yapısını karakterize etmek için bu kısmi bittikliklere ait farklı denklemler kullanılmaktadır. Ayrıca onlar arasında lineer bağıntılar vardır. [5]

$S_{ij}(k)$ kısmi yapı faktörleri Ashcroft-Langreth tarafından şu şekilde tanımlanmıştır:

$$S_{ij}(k) = (N_i N_j)^{-1/2} \left\langle \sum_{n,m} \exp[ik(\vec{r}_n - \vec{r}_m)] \right\rangle - (N_i N_j)^{1/2} \delta_{k,0} \quad (\text{II-6})$$

Burada $(N_i N_j)^{1/2} \delta_{k,0}$ terimi $k=0$ daki şiddete karşılıktır ve sadece $k=0$ yakınındaki çok dar bir bölgede fiziksel

öneme sahip olduğundan, çoğu zaman pratik hesaplarda ihmali edilebilir. (II-6) denklemi (II-5) denklemi ile birleştirildiğinde koherent saçılma şiddeti için şu ifade bulunabilir:

$$\begin{aligned} I^{coh}(k) &= N \sum_i \sum_j (C_i C_j)^{1/2} f_i(k) f_j(k) S_{ij}(k) \\ &= N_1 f_1^2(k) S_{11}(k) + N_2 f_2^2(k) S_{22}(k) + 2(N_1 N_2)^{1/2} f_1(k) f_2(k) S_{12}(k) \end{aligned} \quad (\text{III-7})$$

Atom başına saçılma şiddeti ise,

$$I^{coh}(k) = \sum_i \sum_j (C_i C_j)^{1/2} f_i(k) f_j(k) S_{ij}(k) \quad (\text{III-8})$$

ile ifade edilir. k nin büyük değerlerinde atomlar, X ışınlarını birbirlerinden bağımsız olarak saçtıklarından dolayı

$$\begin{aligned} I^{coh}(k \rightarrow \infty) &= C_1 f_1^2(k) + C_2 f_2^2(k) = \langle f^2(k) \rangle \\ S_{ij}(k) &\longrightarrow \delta_{ij} \end{aligned} \quad (\text{III-9})$$

bağıntıları kullanarak, $S_{AL}(k)$ Ashcroft - Langreth toplam yapı faktörü

$$S_{AL}(k) = \frac{I^{coh}(k)}{\langle f^2(k) \rangle} \quad (\text{III-10})$$

$$S_{AL}(k) = \sum_i \sum_j (C_i C_j)^{1/2} \frac{f_i(k) f_j(k)}{\langle f^2(k) \rangle} S_{ij}(k) \quad (\text{III-11})$$

şeklinde ifade edilebilir.

$g_{1j}(r)$ çift dağılım fonksiyonu orijindeki i atomundan r radyal mesafede bulunan j tipinden atomların ortalaması

dağılımı ve ρ_0 atomların ortalama sayı yoğunluğu olmak üzere $S_{1j}(k)$ kısmi yapı faktörünün

$$S_{1j}(k) = 1 + \frac{4\pi\rho_0}{k} \int r [g_{1j}(r) - 1] \sin(kr) dr \quad (\text{II-12})$$

genelleştirilmiş denklemle tanımlanmış bilinir.

Özet olarak, sıvı haldeki nümunenin ölçülen difraksiyon şiddet verilerinden kısmi yapı faktörleri çıkarılabilir veya teorik olarak çift dağılım fonksiyonunun tayin edilmesinden kısmi yapı faktörleri hesap edilebilir.

Gelecek bölümde, çift dağılım fonksiyonu ile çift potansiyel arasındaki yaklaşık bağıntıyı veren Percus-Yevick denkleminden tayin edilen direk korelasyon fonksiyonunun elemanter fonksiyonlar cinsinden hesaplanabildikleri ve direk korelasyon fonksiyonlarının Fourier dönüştürlerinden de kısmi yapı faktörlerinin hesaplanabildikleri gözden geçirilecektir. Ayrıca, genel olarak ikili karışımın çok çeşitli halleri için hesaplanan kısmi yapı faktörleri verilecektir.

BÖLÜM III

İKİLİ SIVI KARIŞIMLARININ YAPISI

(III.1) KISMİ YAPI FAKTORLERİ

Sivi karışımlarda sistemin yapısı α , x ve η değişkenleri ile tamamen tanımlanabilir. Öncelikle, keyfi olarak karışımın ikinci bileşeni daha büyük σ_2 katı kütre çapına sahip olmak üzere seçilir ve α katı kütre çap oranı olarak tanımlanır:

$$\alpha = \frac{\sigma_1}{\sigma_2} \quad 0 < \alpha < 1 \quad (\text{III-1})$$

V hacminde σ_1 çaplı N_1 tane katı kütre ve σ_2 çaplı N_2 tane katı kütre varsa, x konsantrasyon oranı, daha büyük çaplı kütrelerin konsantrasyonu olmak üzere tanımlanır; yani

$$x = \frac{N_2}{N_1 + N_2} = \frac{n_2}{n_1 + n_2} = \frac{n_2}{n} \quad (\text{III-2})$$

burada n_1 ve n_2 sayı yoğunluklarını temsil ederler ve n toplam sayı yoğunluğudur. η , karışım için toplam istiflenme yoğunluğununa eşit alınır.

$$\eta = \frac{\text{katı kütrelerin işgal ettiği hacim}}{\text{toplam hacim}} = \eta_1 + \eta_2$$

burada $\eta_1 = (\pi/6)n_1\sigma_1^3$, $1=1,2$. O zaman şu bağıntılar çıkar:

$$\eta_1 = \left[\frac{(1-x)\alpha^3}{x + (1-x)\alpha^3} \right] \quad , \quad \eta_2 = \left[\frac{x}{x + (1-x)\alpha^3} \right] \quad (\text{III-3})$$

α , η ve x değişkenleri tam olarak sistemi belirtirler ve aşağıda listelenen değişik korelasyon fonksiyonlarındaki katsayılar bu değişkenler cinsinden ifade edilebilirler. Fourier dönütümleri için bir dalga sayısı uzay değişkenine gerek duyulur: $y=k\sigma_2$ seçilir, o zaman bütün diğer k uzay değişkenleri buna göre ölçulenirler; örnek olarak, $k\sigma_1 = y\sigma_1/\sigma_2 = \alpha y$.

Katı kütreler karışımı için Lebowitz tarafından verilen çözümler şunlardır: [1]

$$-C_{11}(r) = a_1 + b_1 r + dr^3, \quad r < \sigma_1 \quad (\text{III-3})$$

$$-C_{22}(r) = a_2 + b_2 r + dr^3, \quad r < \sigma_2 \quad (\text{III-4})$$

$$\begin{aligned} -C_{12}(r) &= a_1 \\ &= a_1 + (bR^2 + 4dR^3 + dR^4)/r, \quad \lambda < r < (\sigma_1 + \sigma_2)/2 \end{aligned}$$

Burada $\lambda = (\sigma_2 - \sigma_1)/2$ ve $R = r - \lambda$ dir. a_1 , b_1 , b ve d katsayıları basit ama uzun ifadelerle verilen fonksiyonlardır. Ornstein-Zernike sıkışabilirlik bağıntısından türetilen

$$\beta\beta = \{(\eta_1 + \alpha^3\eta_2)(1 + \eta + \eta^2) - 3\eta_1\eta_2(1 - \alpha)^2[1 + \eta_1 + \alpha(1 + \eta_2)]\} \times (1 - \eta)^{-3} \quad (\text{III-5})$$

olmak üzere, a_1 ve a_2 katsayıları

$$a_1 = \frac{\partial}{\partial \eta^2}(\beta\beta) \quad a_2 = \alpha^3 \frac{\partial}{\partial \eta^2}(\beta\beta)$$

Şimdi aşağıdaki tıç fonksiyon

$$\begin{aligned} g_{11} &= [(1+\frac{1}{2}\eta) + \frac{3}{2}\eta_2(\alpha-1)](1-\eta)^{-2} \\ g_{22} &= [(1+\frac{1}{2}\eta) + \frac{3}{2}\eta_1(\alpha^{-1}-1)](1-\eta)^{-2} \\ g_{12} &= [(1+\frac{1}{2}\eta) + \frac{3}{2}(1-\alpha)(\eta_1-\eta_2)/(1+\alpha)](1-\eta)^{-2} \end{aligned} \quad (\text{III-6})$$

cinsinden, b_1, b_2, b ve d katsayıları

$$\begin{aligned} b_1 &= -\frac{6}{\sigma_1} [\eta_1 g_{11}^2 + \frac{1}{4}\eta_2(1+\alpha)^2 \alpha g_{12}^2] = \frac{\beta_1}{\sigma_1} \\ b_2 &= -\frac{6}{\sigma_2} [\eta_2 g_{22}^2 + \frac{1}{4}\eta_1 \alpha^{-3}(1+\alpha)^2 \alpha g_{12}^2] = \frac{\beta_2}{\sigma_2} \\ b &= -\frac{3}{\sigma_2} (1+\alpha) [\alpha^{-2}\eta_1 g_{11} + \eta_2 g_{22}] g_{12} = \frac{\beta_{12}}{\sigma_2} \end{aligned} \quad (\text{III-7})$$

$$d = \sigma_1^{-3} [\eta_1 a_1 + \alpha^3 \eta_2 a_2] = \gamma_1 \sigma_1^{-3}$$

ile verilir.

(III-4) denklemelerinden, derhal yapı faktörlerinin tanımında gerekli olan $-n_1 C_{11}(y)$, $-n_2 C_{22}(y)$ ve $(n_1 n_2)^\frac{1}{2} C_{12}(y)$ Fourier dönüştürmeleri yazılabilir. (III-4) denkleminden, $y_1 = k\sigma_1$ yazarak,

$$\begin{aligned} -n_1 C_{11}(y) &= \frac{24\eta_1}{\alpha^3 y^3} [a_1 (\sin y - \alpha \cos y) + \frac{\beta_1}{\alpha y} [2\alpha y \sin y - (\alpha^2 y^2 - 2) \\ &\quad \cos y - 2] + \frac{\gamma_1}{\alpha^3 y^3} [(4\alpha^3 y^3 - 24\alpha y) \sin y - (\alpha^4 y^4 - 12\alpha^2 y^2 + 24) \\ &\quad \cos y + 24]] , \end{aligned}$$

$$-n_2 C_{22}(y) = \frac{24\eta_2}{y^3} \left\{ a_1 (\sin y - y \cos y) + \frac{\beta_2}{y} [2y \sin y - (y^2 - 2) \cos y - 2] \right. \\ \left. + \frac{\alpha^{-3} y_1}{y^3} [(4y^3 - 24y) \sin y - (y^4 - 12y^2 + 24) \cos y + 24] \right\},$$

$$-(n_1 n_2) \frac{1}{2} C_{12}(y) = 3(1-\alpha)^3 \frac{\eta x^{\frac{1}{2}} (1-x)^{\frac{1}{2}}}{x + (1-x)\alpha^3} a_1 \frac{\sin y_\lambda - y_\lambda \cos y_\lambda}{y_\lambda^3}$$

$$+ 24\eta \frac{x^{\frac{1}{2}} (1-x)^{\frac{1}{2}} \alpha^3}{x + (1-x)\alpha^3} \left[\frac{\sin y_\lambda}{y_1^4} [\beta_{12} [2y_1 \cos y_1 + (y_1^2 - 2) \sin y_1] \right.$$

$$+ \frac{y_1^2}{y_1} [(3y_1^2 - 6) \cos y_1 + (y_1^3 - 6y_1) \sin y_1 + 6]$$

$$+ \frac{y_1}{y_1^2} [(4y_1^3 - 24y_1) \cos y_1 + (y_1^4 - 12y_1^2 + 24) \sin y_1] \}$$

$$+ \frac{\cos y_\lambda}{y_1^4} [\beta_{12} [2y_1 \sin y_1 - (y_1^2 - 2) \cos y_1 - 2]$$

$$+ \frac{y_1^2}{y_1} [(3y_1^2 - 6) \sin y_1 - (y_1^3 - 6y_1) \cos y_1]$$

$$+ \frac{y_1}{y_1^2} [(4y_1^3 - 4y_1) \sin y_1 - (y_1^4 - 12y_1^2 + 24) \cos y_1 + 24] \}$$

$$+ \frac{a_1}{y_1} \{ \cos y_\lambda \left(\frac{\sin y_1 - y_1 \cos y_1}{y_1^2} + \frac{1-\alpha}{2\alpha} \frac{1-\cos y_1}{y_1} \right)$$

$$+ \sin y_\lambda \left(\frac{\cos y_1 + y_1 \sin y_1 - 1}{y_1^2} + \frac{1-\alpha}{2\alpha} \frac{\sin y_1}{y_1} \right) \}$$

Yukarıdaki ifadelerde,

$$y_\lambda = \frac{1-\sigma}{2}, \quad y_{12} = a_1 n_1 + a_2 n_2 \frac{(1-\sigma)^2}{\sigma}$$

olarak verilir.

$$S_{1j}(k) = (N_i N_j)^{-1/2} \sum_{n,m} \exp[i k (\vec{r}_n - \vec{r}_m)] - (N_i N_j)^{1/2} \delta_{kj}, \quad (III-8)$$

olmak üzere

$$\tilde{S}_{1j} = S_{1j}(y) - 1 \quad (III-9)$$

tanımlanırsa, o zaman direk korelasyon fonksiyonunun tanımı derhal, $C_{12} = C_{21}$ olduğundan,

$$n_1^{-1} \tilde{S}_{11}(y) = C_{11}(y) + \tilde{S}_{11}(y) + (n_1/n_2) \frac{1}{\%} \tilde{S}_{12}(y) C_{12}(y),$$

$$\frac{1}{(n_1 n_2) \%} \tilde{S}_{12}(y) = C_{12}(y) + \tilde{S}_{11}(y) C_{12}(y) + (n_1/n_2) \frac{1}{\%} \tilde{S}_{12}(y) C_{22}(y),$$

$$\frac{1}{(n_1 n_2) \%} \tilde{S}_{22}(y) = C_{22}(y) + (n_1/n_2) \frac{1}{\%} \tilde{S}_{12}(y) C_{11}(y) + \tilde{S}_{22}(y) C_{22}(y),$$

$$\frac{1}{n_2} \tilde{S}_{22}(y) = C_{22}(y) + (n_1/n_2) \frac{1}{\%} \tilde{S}_{12}(y) C_{11}(y) + \tilde{S}_{22}(y) C_{22}(y) \quad (III-10)$$

(III-9) un kullanılmasıyla, $S_{1j}(y)$ yapı faktörleri için çözümle (III-10) denklemlerinden bulunabilirler:

Sekil 1 (III-1)

$$S_{11}(y) = \left[1 - n_1 C_{11}(y) - \frac{n_1 n_2 C_{12}^2(y)}{1 - n_2 C_{22}(y)} \right]^{-1}, \quad (III-11)$$

$$S_{22}(y) = \left[1 - n_2 C_{22}(y) - \frac{n_1 n_2 C_{12}^2(y)}{1 - n_1 C_{11}(y)} \right]^{-1}$$

$$S_{12}(y) = (n_1 n_2)^{\frac{1}{2}} C_{12}(y) \{ [1 - n_1 C_{11}(y)][1 - n_2 C_{22}(y)] - n_1 n_2 C_{12}^2(y) \}^{-\frac{1}{2}}$$

Özet olarak, ikilli sıvı karışım için Lebowitz tarafından verilen $C_{ij}(r)$ direk korelasyon fonksiyonlarının $C_{ij}(k)$ Fourier dönüştürmlerinden doğrudan doğruya η istiflenme yoğunluğunun, α katı küre çap oranının ve x konsantrasyon oranının fonksiyonu olan $S_{ij}(k)$ kısmi yapı faktörleri hesap edilebilir.

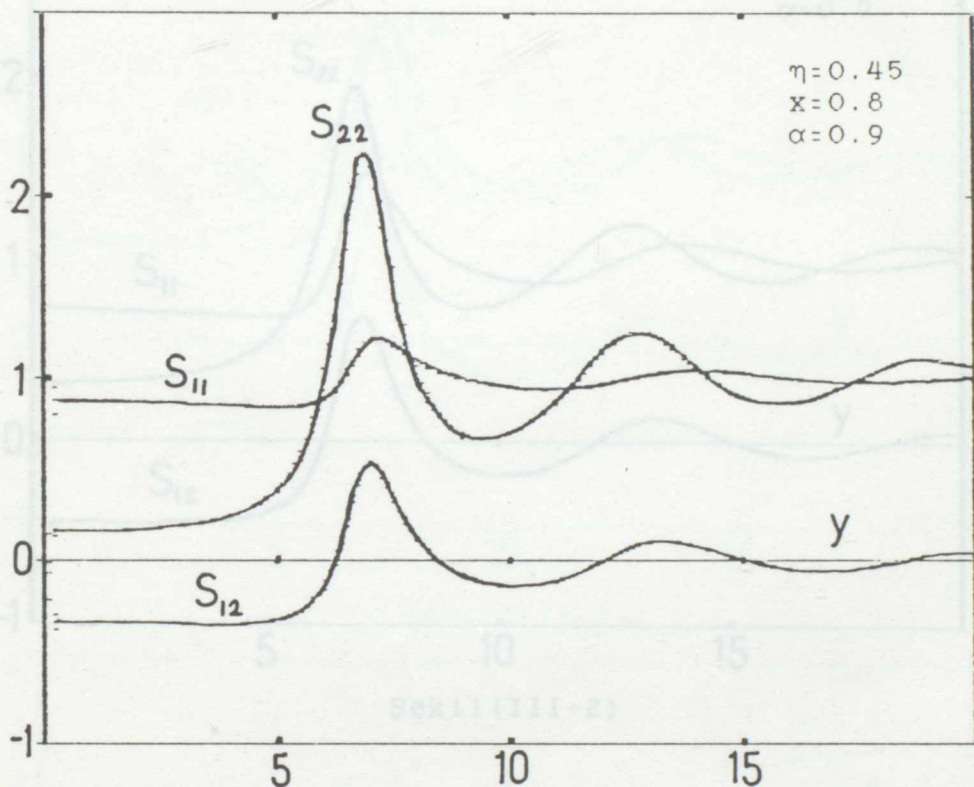
(III.2) ÇEŞİTLİ HALLER İÇİN HESAPLANAN KİSMİ YAPI FAKTORLERİ

Onceki kısımda verilen bağıntılar kullanılarak, kısmi yapı faktörleri η 'nın 0.40, 0.41, ..., 0.50 değerleri, x 'in 0.1, 0.2, ..., 0.9 değerleri ve α 'nın 0.5, 0.6, ..., 0.9 değerlerinin üçlü kombinasyonlarının her biri için bilgisayar yardımıyla hesap edildi.

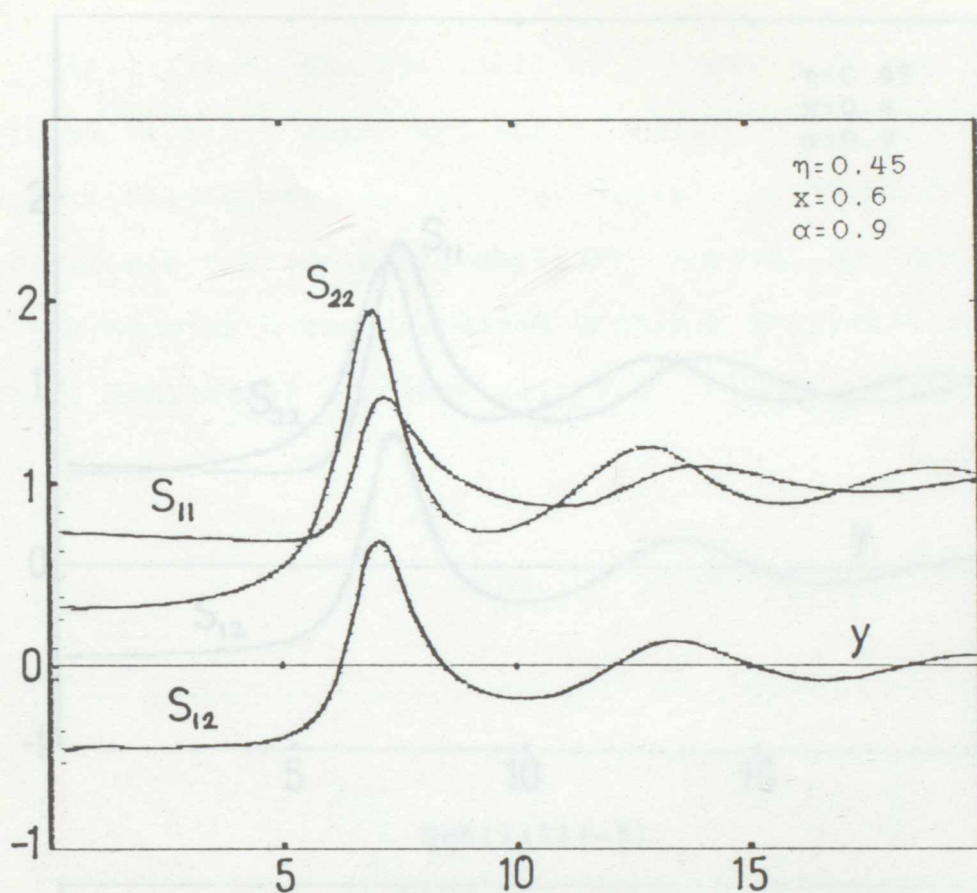
Üçlü kombinasyonların sadece $\eta=0.45$ olanları Tablo-1 de gösterildi. Bu tabloda y değerleri birinci piklerin yerlerini ve S_{ij} 'ler de birinci piklerin yüksekliklerini ifade ederler.

Aşağıda verilen grafiklerde sıvı karışımının yapısı en genel biçimde karakterize edilir.

Şekil(III-1) den Şekil(III-4)'a kadar olan eğriler $\eta=0.45$, $\alpha=0.9$ için $S_{11}(y)$, $S_{22}(y)$ ve $S_{12}(y)$ kısmi yapı faktörlerinin konsantrasyonla değişimini gösterirler.



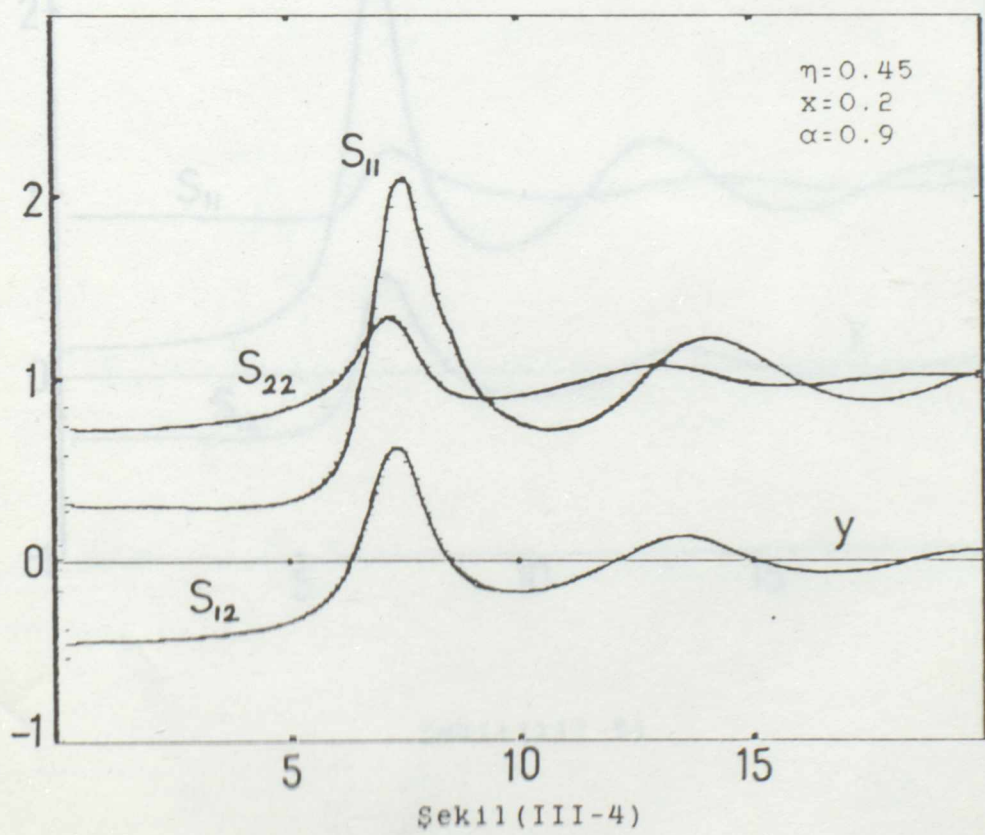
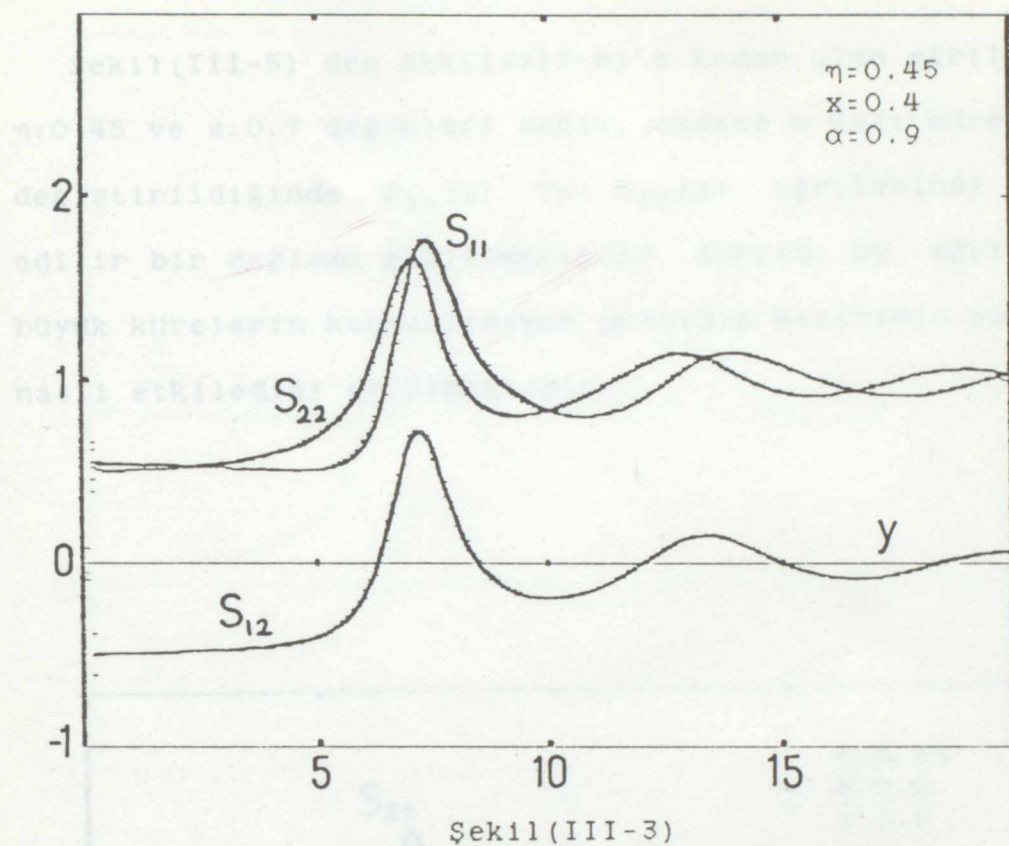
Şekil(III-2) de $\eta=0.45$, $x=0.8$ olduğunda karışımın büyük bileşenine ait $S_{22}(y)$ kısmi yapı faktörünün birinci pik yükseklüğü, $S_{11}(y)$ ve $S_{12}(y)$ kısmi yapı faktörlerine göre daha yüksek ve nettir. Bunun nedeni ise karışımın büyük bileşeninin küçük bileşene nazaran V toplan hacim içindeki çokluğudur. Böyle olunca değiştirilen bileşenin konsantrasyonuyla doğru orantılı olarak, o bileşene ait kısmi yapı faktörünün pikinde değişme beklenmesi doğaldır.



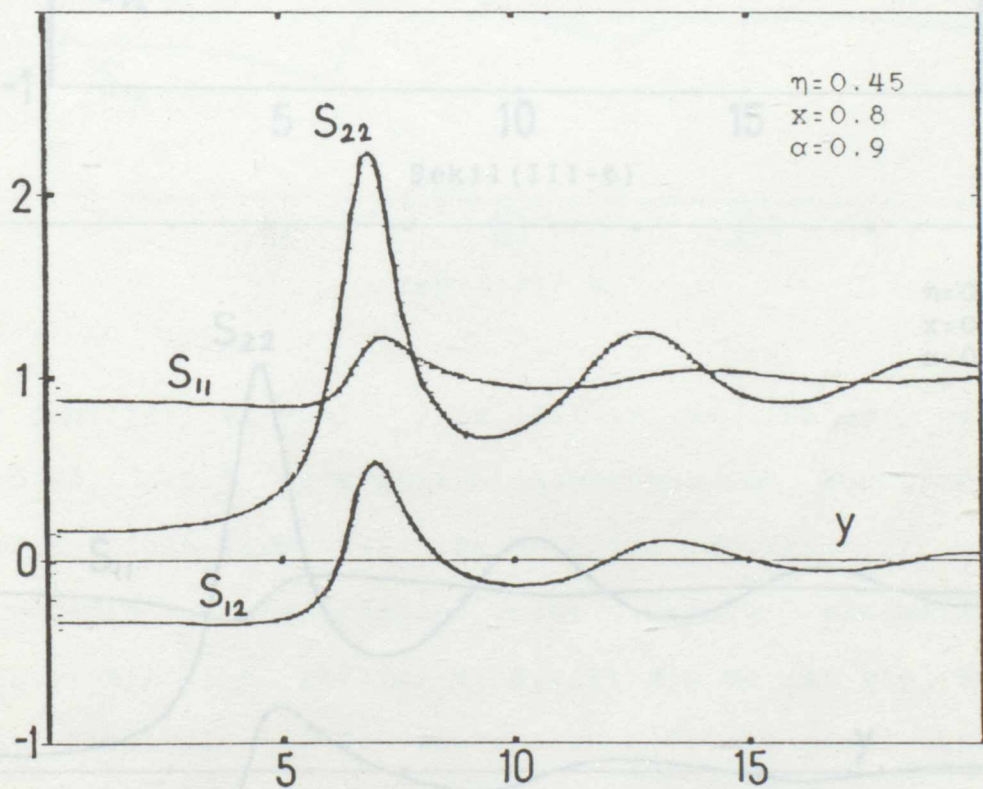
Şekil(III-2)

Şekil(III-2)'de aynı η ve α değerinde büyük kütrelerin konsantrasyonu düşürtildiğinde, şekilde görüldüğü gibi $S_{22}(y)$ piki azalıp, $S_{11}(y)$ piki biraz yükselmiştir.

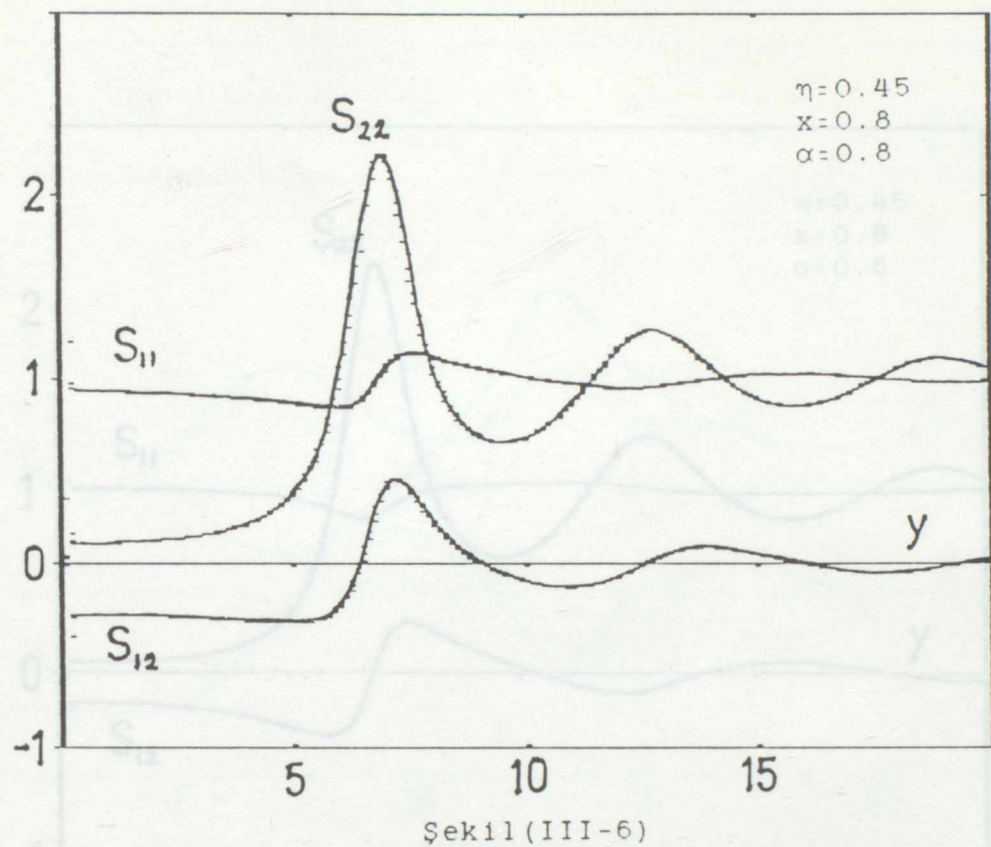
Şekil(III-3) ve Şekil(III-4) yine aynı η ve α değerlerinde büyük kütrelerin konsantrasyonunun azalısının $S_{11}(y)$, $S_{22}(y)$ ve $S_{12}(y)$ kısmi yapı faktörleri üzerinde yukarıda belirtilen etkiyi devam ettirdiği gözlenir.



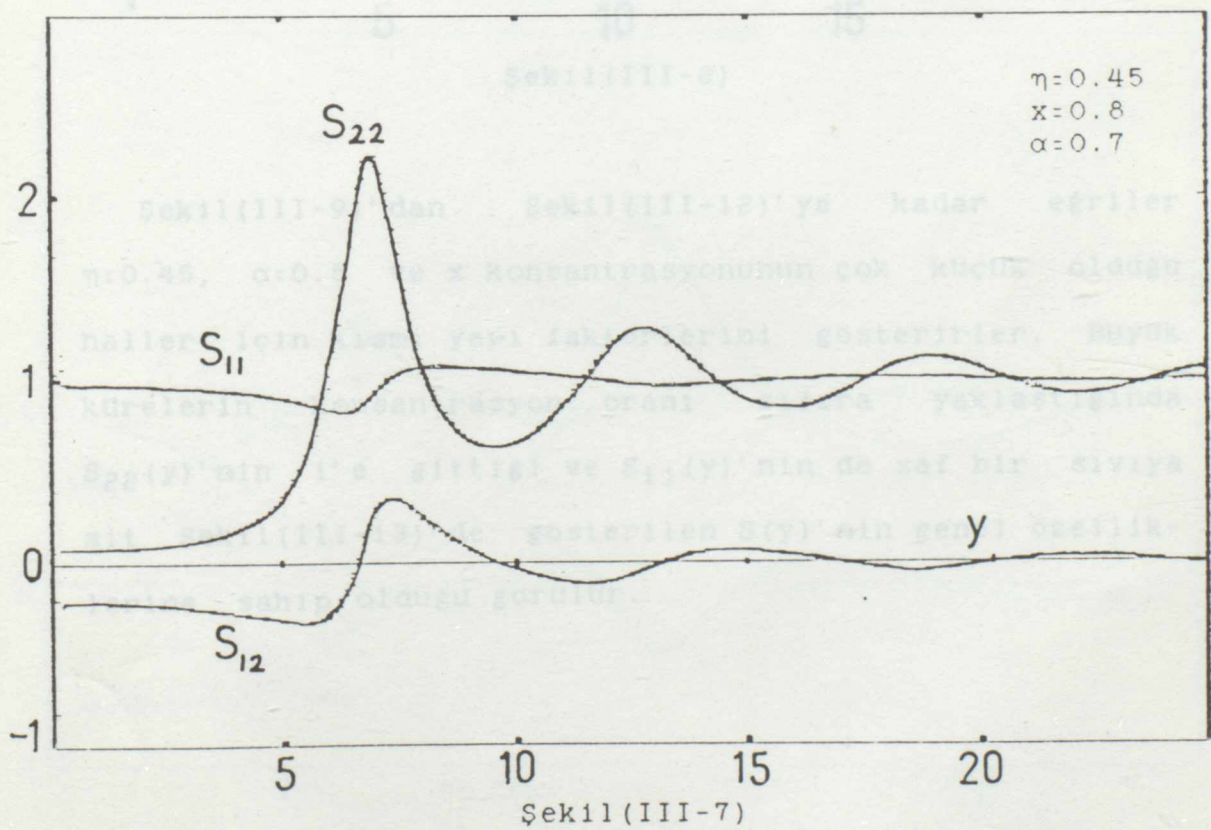
Şekil(III-5)' den Şekil(III-8)' e kadar olan eğriler ise $\eta=0.45$ ve $x=0.7$ değerleri sabit, sadece α katı kütre oranını değiştirildiğinde $S_{11}(y)$ ve $S_{12}(y)$ eğrilerinde fark edilir bir değişme gözlenmektedir. Ayrıca, bu eğrilerden büyük kütrelerin konsantrasyon oranının karışımının yapısını nasıl etkilediği görülmektedir.



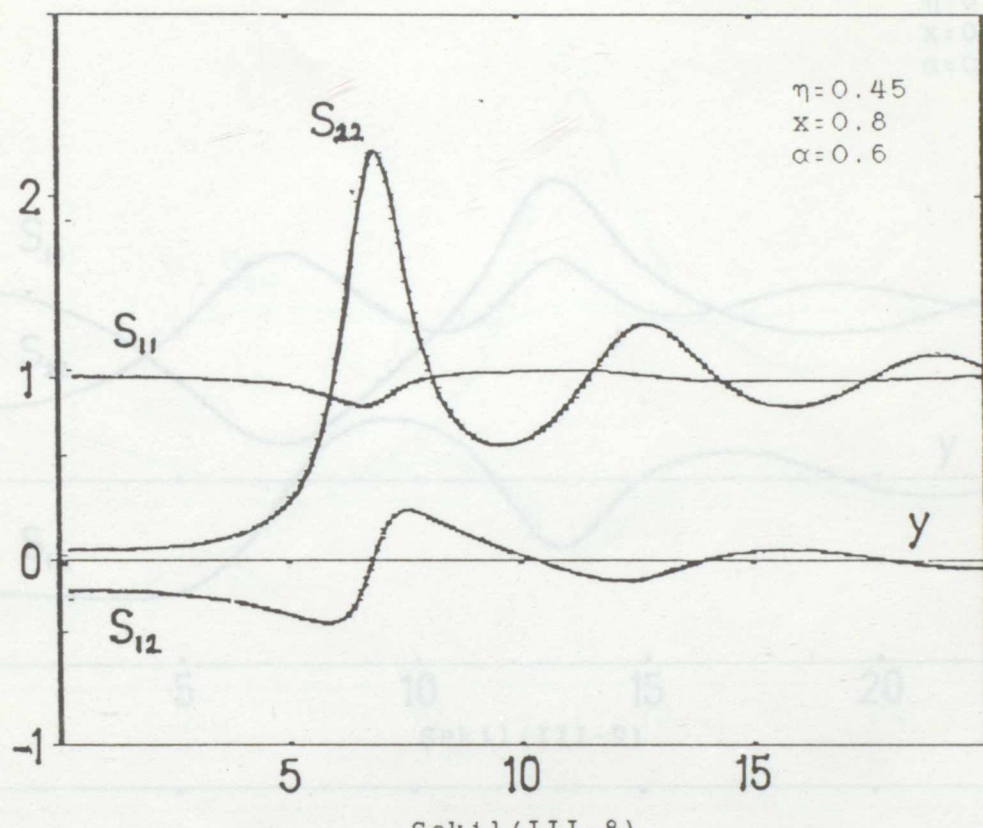
Şekil(III-5)



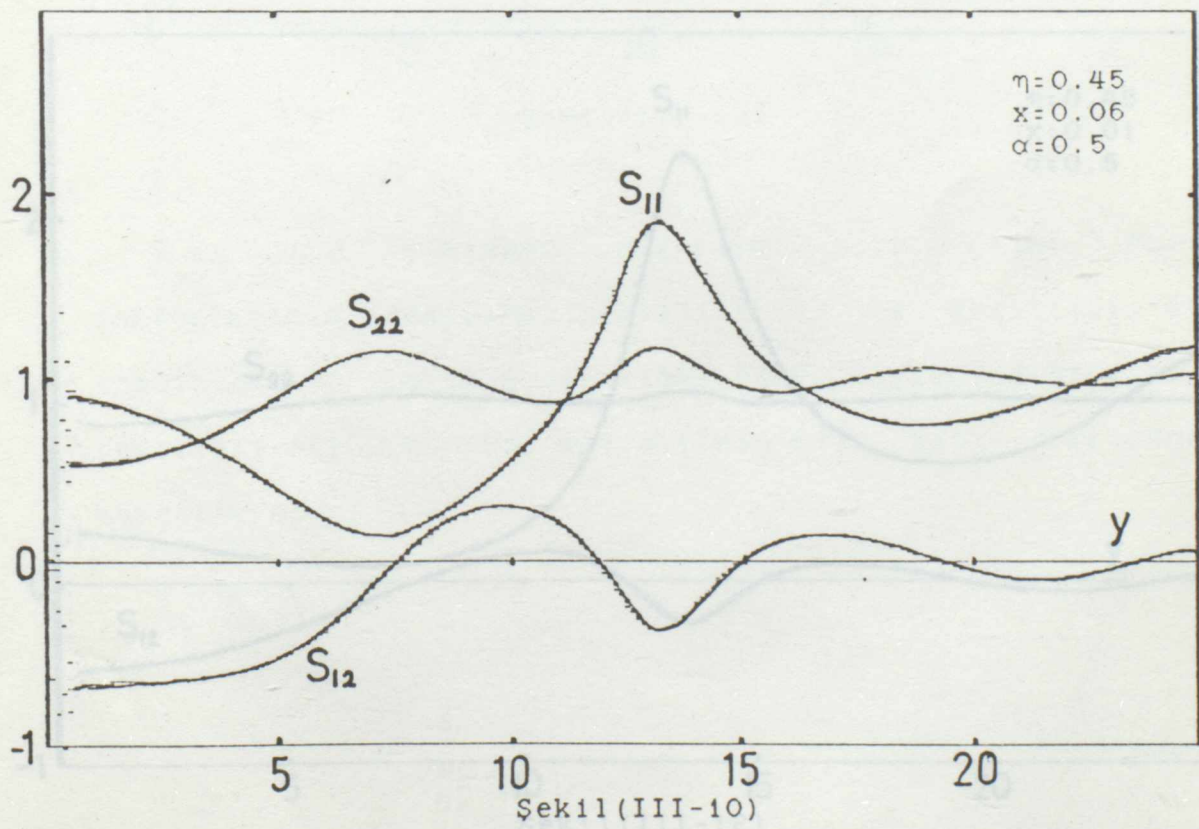
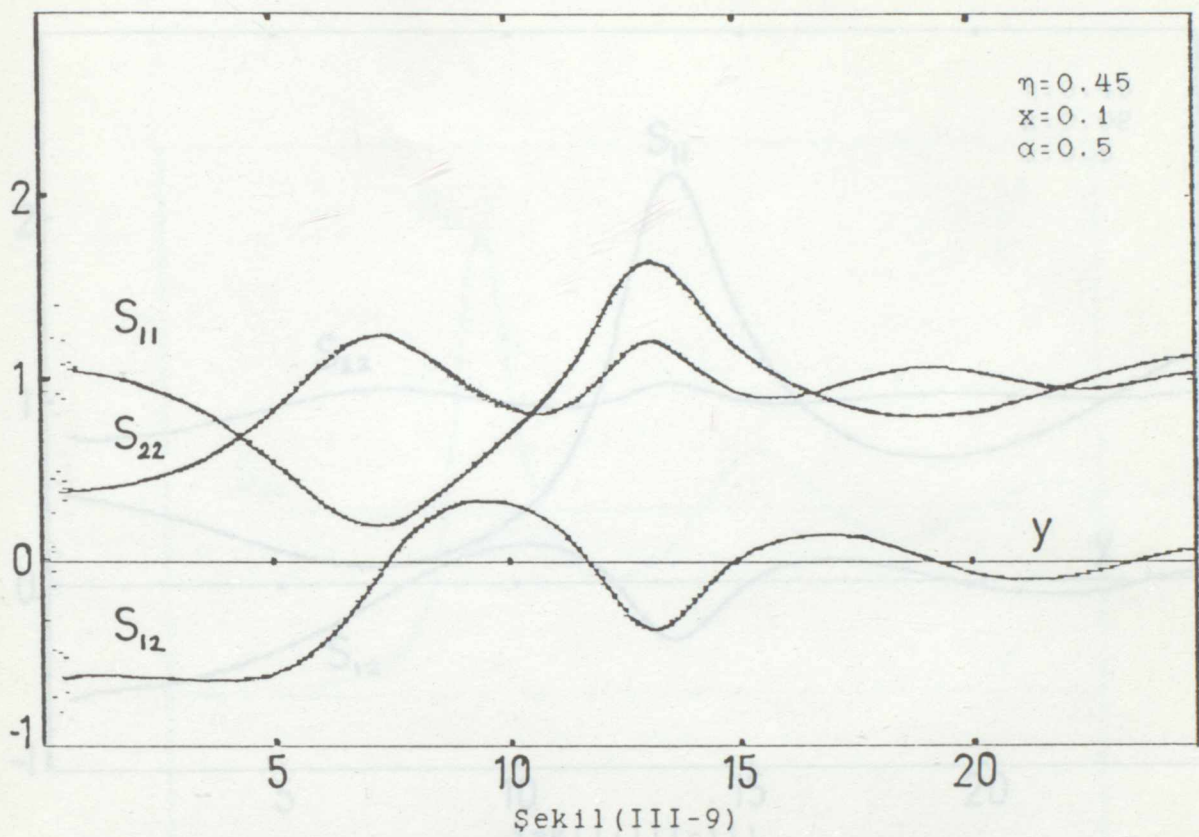
Şekil(III-6)

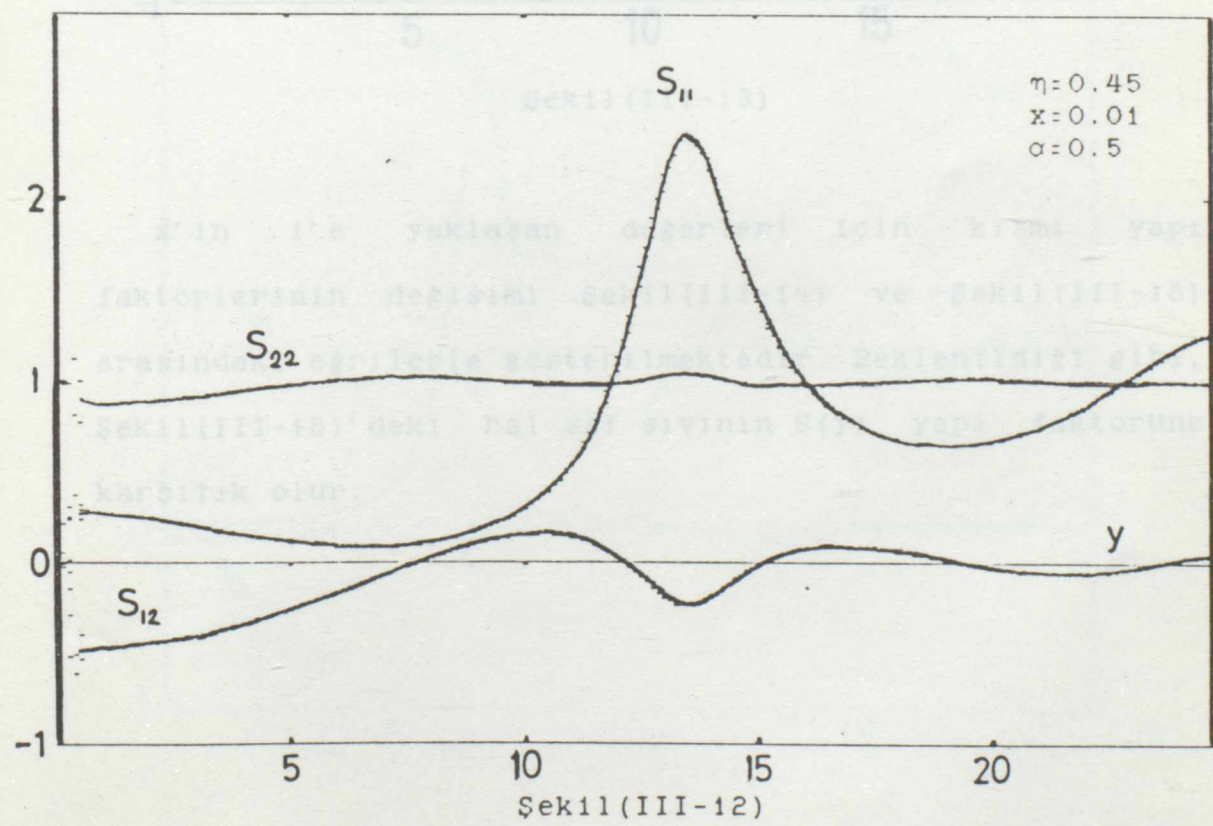
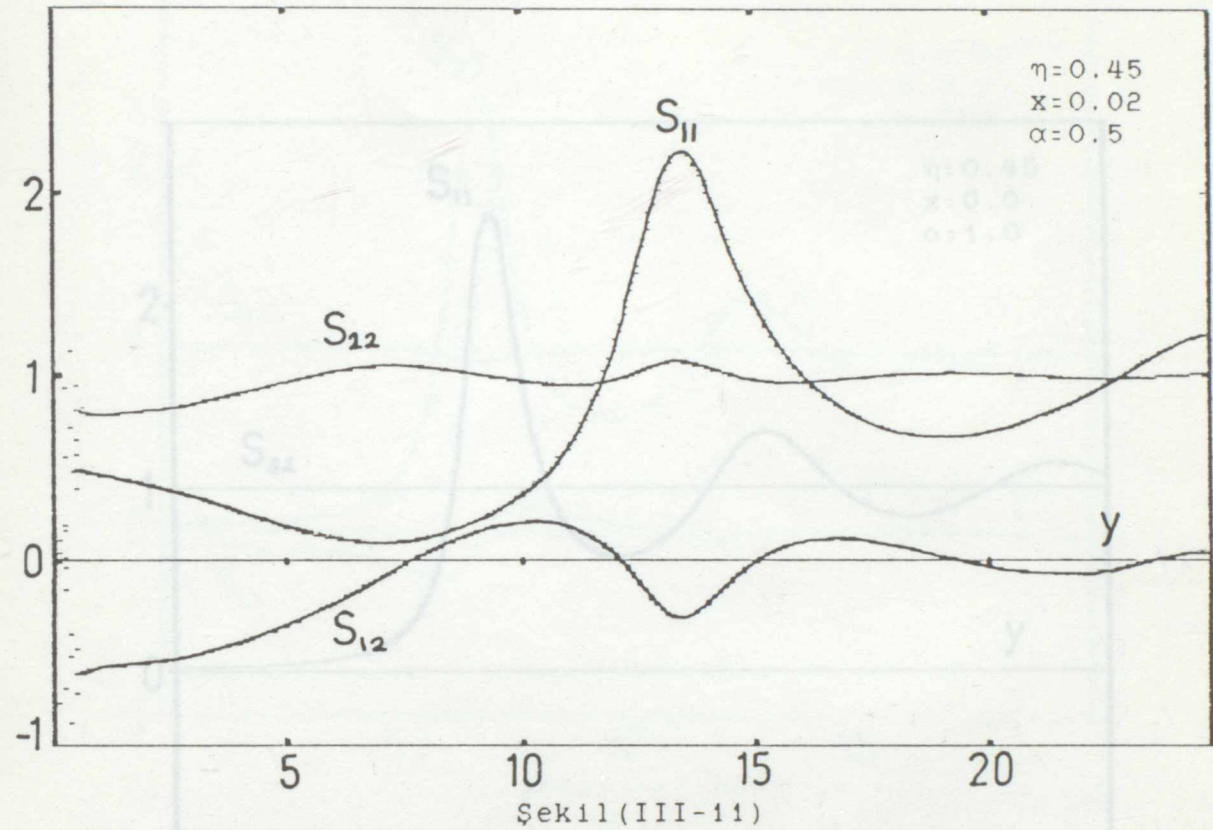


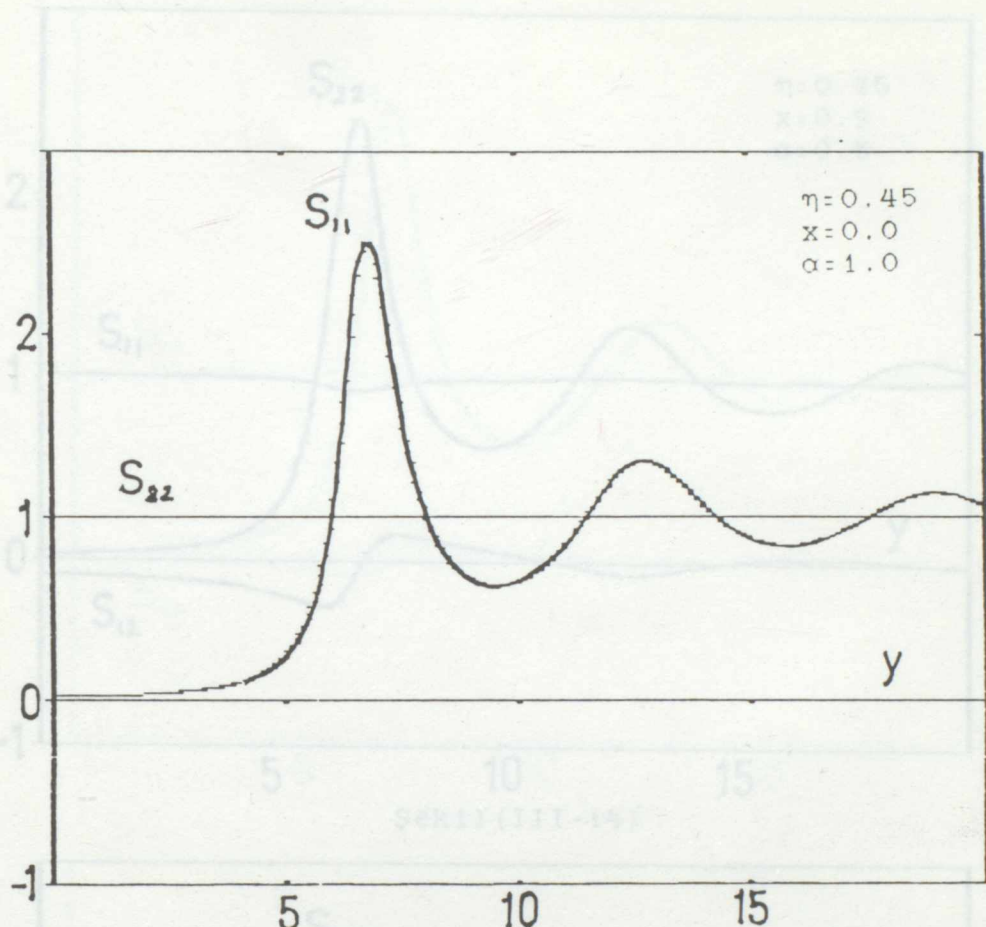
Şekil(III-7)



Şekil(III-9)'dan Şekil(III-12)'ye kadar eğriler $\eta = 0.45$, $\alpha = 0.5$ ve x konsantrasyonunun çok küçük olduğu haller için kısmi yapı faktörlerini gösterirler. Bütün kütrelerin konsantrasyon oranı sıfıra yaklaşlığında $S_{22}(y)$ 'nin 1'e gittiği ve $S_{11}(y)$ 'nin de saf bir sıvuya ait Şekil(III-13)'de gösterilen $S(y)$ 'nin genel özelliklerine sahip olduğu görültür.

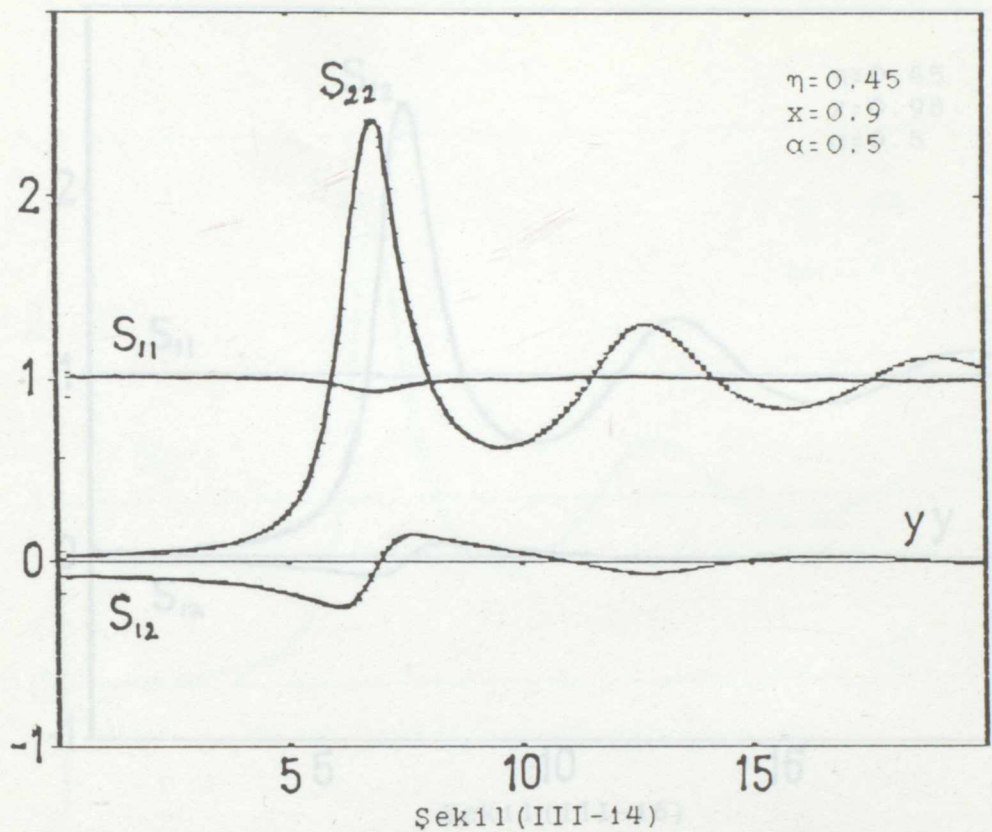




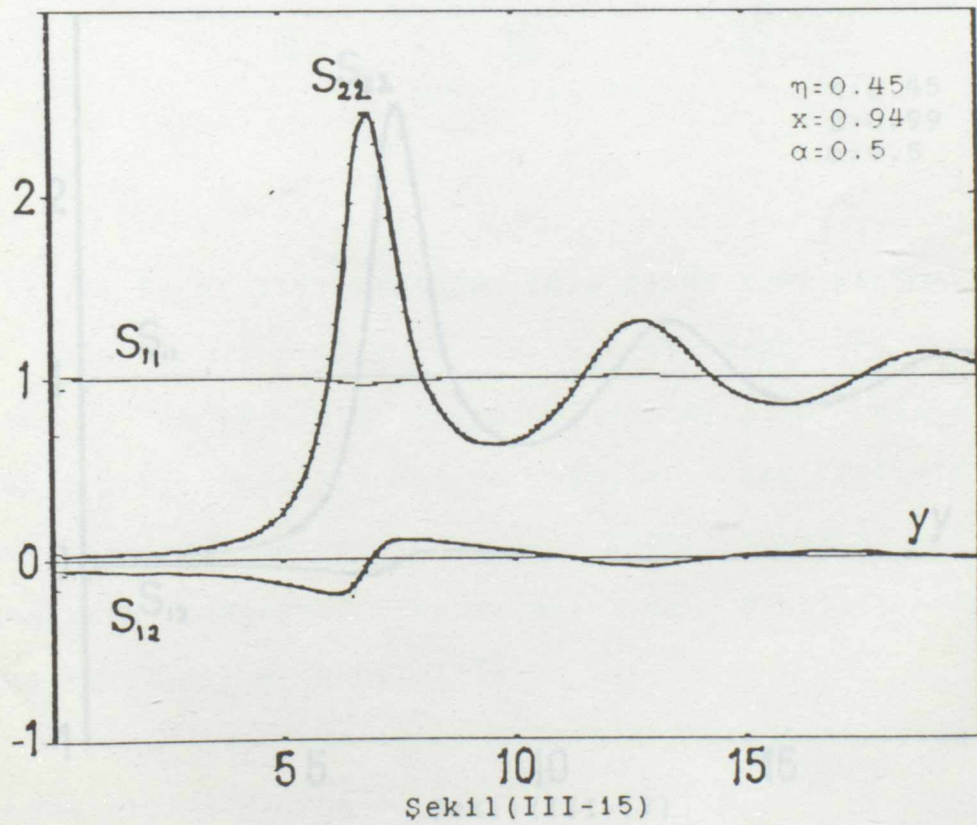


Şekil(III-13)

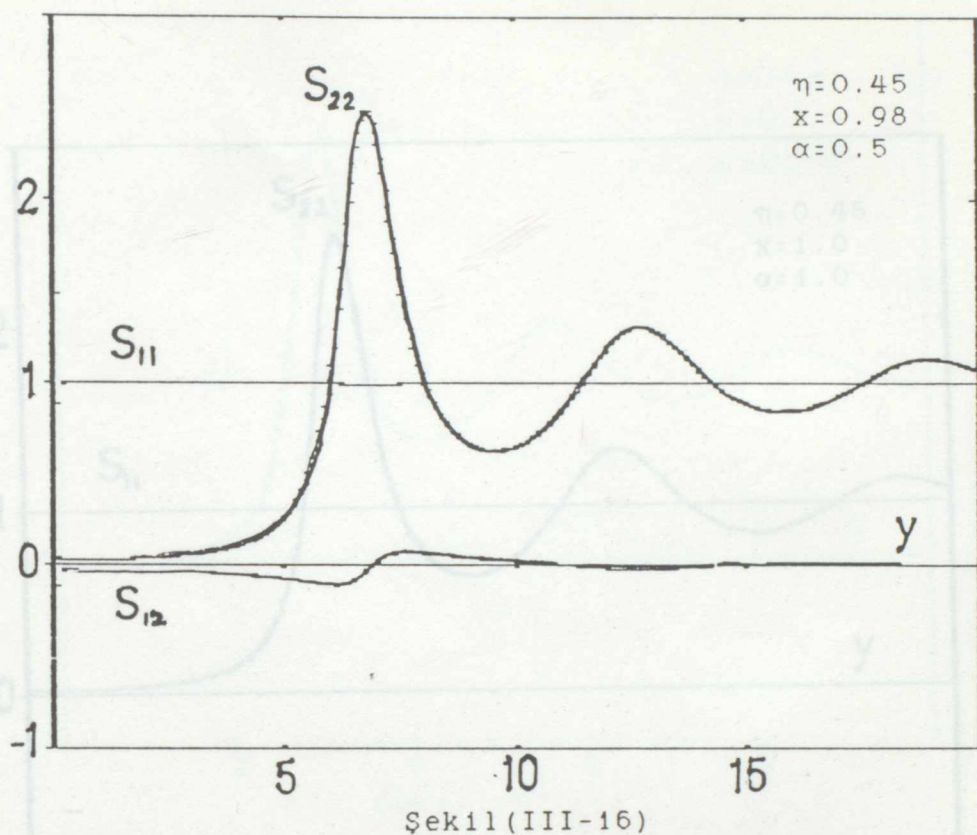
x 'in 1'e yaklaşan değerleri için kısmi yapı faktörlerinin değişimi Şekil(III-14) ve Şekil(III-18) arasındaki egrilerle gösterilmektedir. Beklenildiği gibi, Şekil(III-18)'deki hal saf sıvının $S(y)$ yapı faktörtüne karşılık olur.



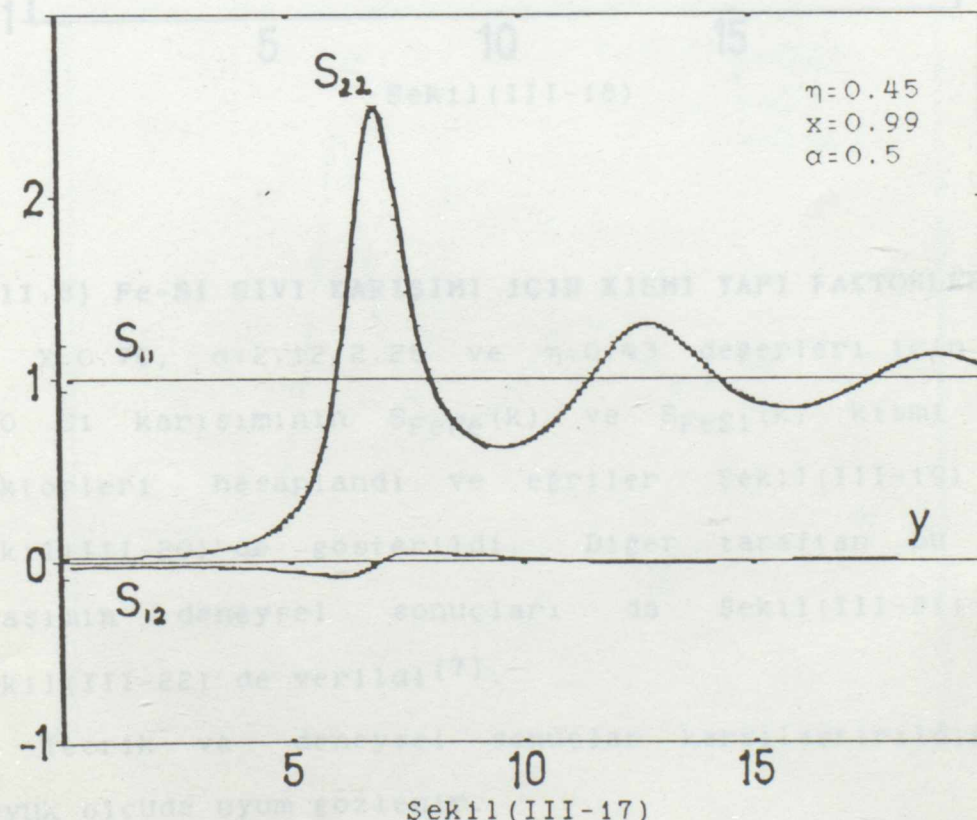
Şekil (III-14)



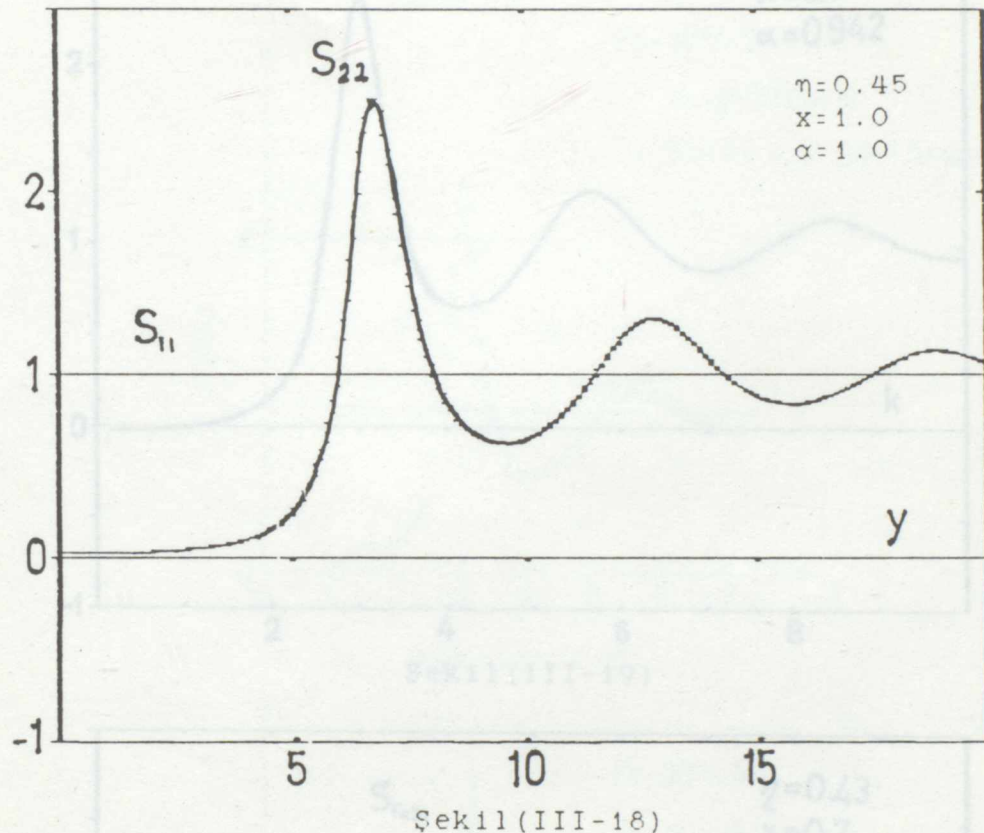
Şekil (III-15)



Şekil (III-16)



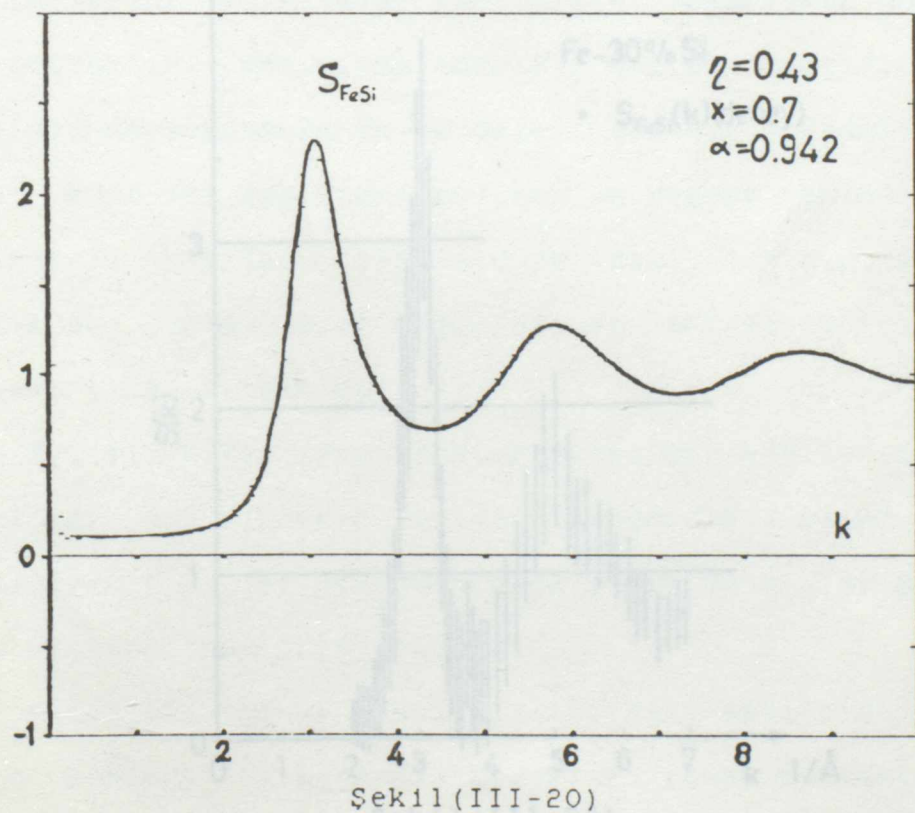
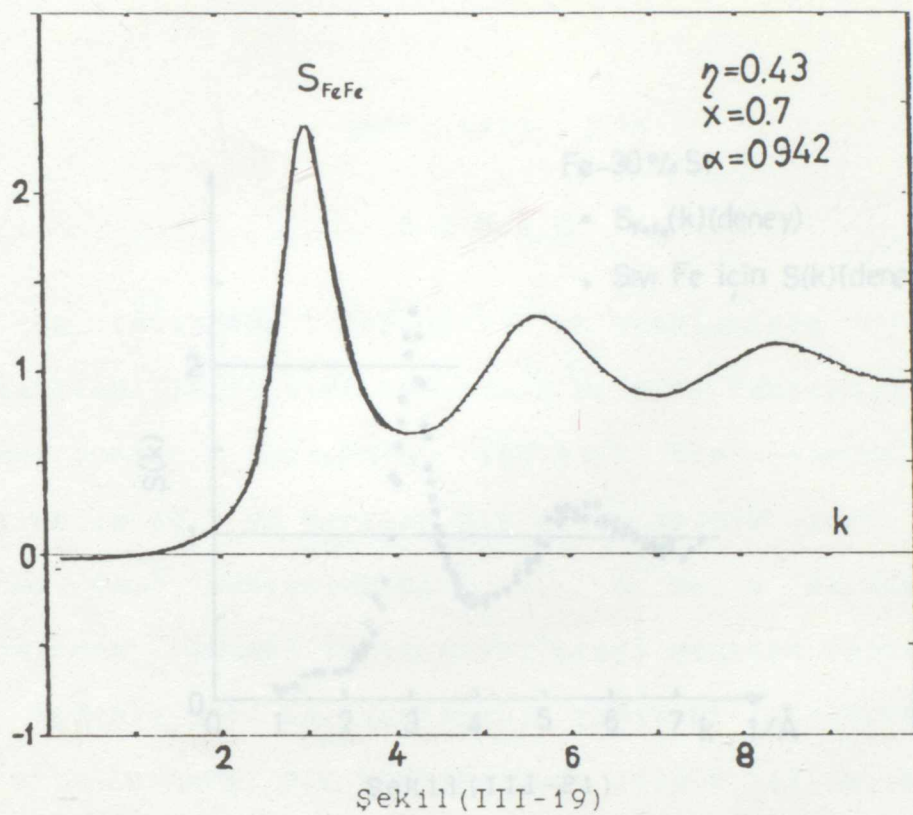
Şekil (III-17)

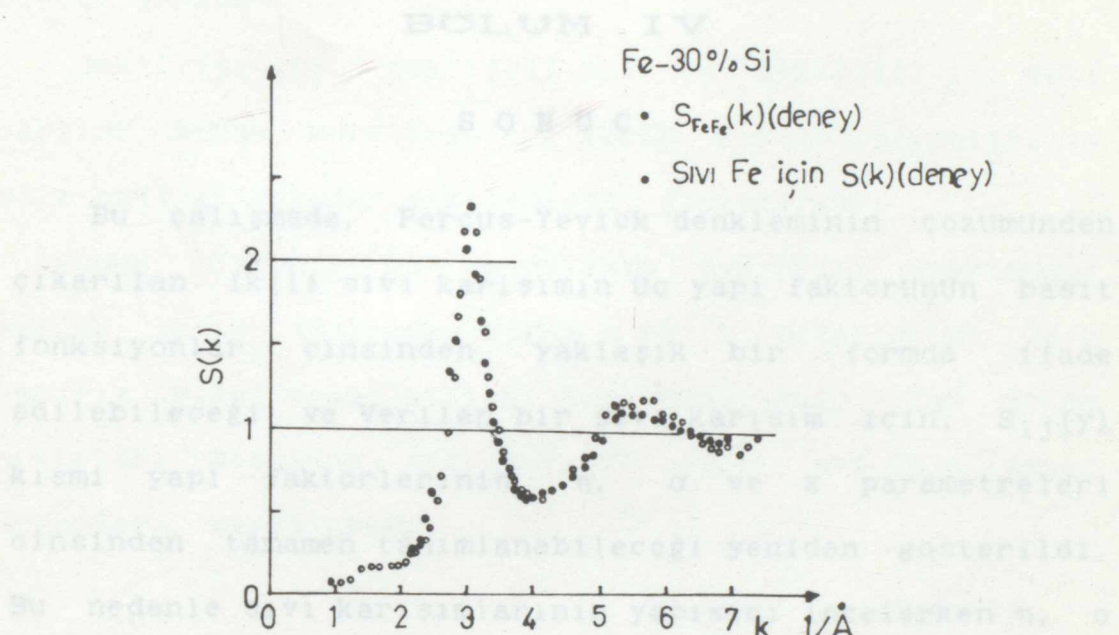


(III.3) Fe-Si SIVI KARIŞIMI İÇİN KİSMİ YAPI FAKTORLERİ

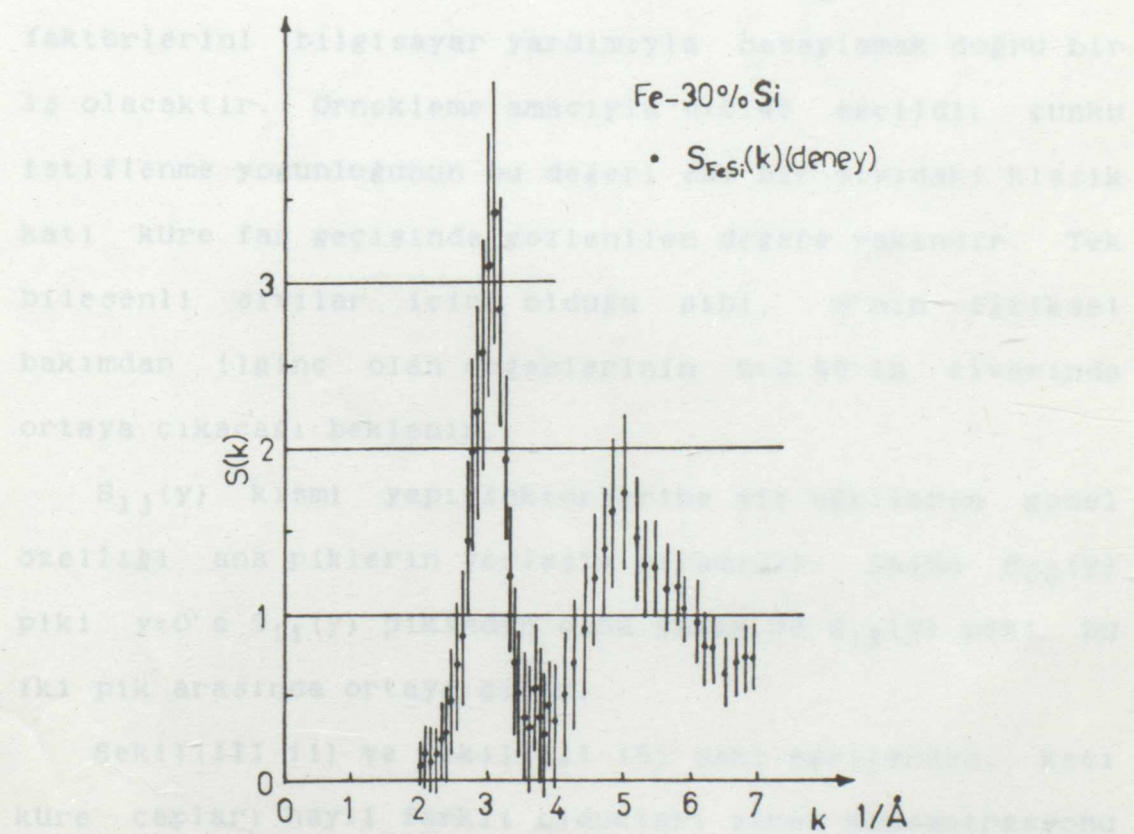
$x = 0.70$, $\alpha = 2.12/2.25$ ve $\eta = 0.43$ değerleri için Fe-%30 Si karışımının $S_{FeFe}(k)$ ve $S_{FeSi}(k)$ kısmi yapı faktörleri hesaplandı ve eğriler Şekil(III-19) ve Şekil(III-20)'de gösterildi. Diğer taraftan bu sıvı alaşımının deneysel sonuçları da Şekil(III-21) ve Şekil(III-22)'de verildi [7].

Teorik ve deneysel sonuçlar karşılaştırıldığında bütünlük ölçüde uyum gözlenir.





Sekil (III-21)



Şekil (III-22)

büyük olan bileşene ait yapı faktörünün çok şiddetli olduğu görüldür.

BÖLÜM IV

~~Şekil(III-10), Şekil(III-11) ve Şekil(III-12)'deki~~

S O N U Ç

Bu çalışmada, Percus-Yevick denkleminin çözümünden çıkarılan ikili sıvı karışımın üç yapı faktörünün basit fonksiyonlar cinsinden yaklaşık bir formda ifade edilebileceği ve Verilen bir sıvı karışım için, $S_{1j}(y)$ kısmi yapı faktörlerinin η , α ve x parametreleri cinsinden tamamen tanımlanabileceği yeniden gösterildi. Bu nedenle sıvı karışımlarının yapısını incelerken η , α ve x 'in herhangi bir kombinasyonu için $S_{1j}(y)$ kısmi yapı faktörlerini bilgisayar yardımıyla hesaplamak doğru bir iş olacaktır. Örneklemme amacıyla $\eta=0.45$ seçildi; çünküt istiflenme yoğunluğunun bu değeri saf bir sıvıdaki klasik katı ktre faz geçişinde gözlenilen değere yakındır. Tek bileşenli sıvılar için olduğu gibi, η 'nın fiziksel bakımdan ilginç olan değerlerinin $\eta=0.45$ 'in civarında ortaya çıkacağı beklenir.

$S_{1j}(y)$ kısmi yapı faktörlerine ait eğrilerin genel özellikleri ana piklerin yerleşim sırasıdır. Daima $S_{22}(y)$ piki $y=0$ 'a $S_{11}(y)$ pikinden daha yakın ve $S_{12}(y)$ piki bu iki pik arasında ortaya çıkar.

Şekil(III-11) ve Şekil(III-16)'daki eğrilerden, katı ktre çapları hayli farklı oldukları zaman konsantrasyonu

bütük olan bileşene ait yapı faktörünün çok şiddetli olduğu görtür.

Şekil(III-10), Şekil(III-11) ve Şekil(III-12)'deki eğriler bütük kütrelerin çok küçük konsantrasyonlarının bile saflığı ne kadar etkilediğini gösterirler.

Sonuç olarak, bu sonuçların ayrıntılı uygulaması gerçek ikili sıvılara uygun η ve α değerlerine dair ampirik bilgilerin kitliği ile engellenir. Tam erime noktaları üzerinde saf sıvilar ($\alpha=1$) $\eta=0.45'$ e yakın değerleri sergilerler.

0.1	8.5	1.98	7.8	1.98	7.8	0.45
0.1	8.4	2.12	7.6	2.12	7.6	0.45

$\eta=0.45$ ve $\alpha=1$ için 1.gitim ve uyumluluk

δ	γ	S_{11}	S_{12}	S_{21}	S_{22}	η	α	S_{11}	S_{12}	S_{21}	S_{22}
0.8	7.6	1.159	7	2.312	7.7	0.45					
0.7	7.7	1.205	7	2.160	7.8	0.45					
0.6	7.7	1.202	7.1	2.065	7.6	0.45					
0.5	7.8	1.147	7.3	1.912	7.5	0.45					
0.4	8	1.072	7.5	1.807	7.4	0.45					
0.3	8.1	1.022	7.6	1.738	7.7	0.45					
0.2	8.2	1.004	7.5	1.685	7.9	0.45					
0.1	8.3	2.24	7.7	1.609	8	0.45					

$\eta=0.47$ ve $\alpha=1$ için 1.gitim ve uyumluluk

δ	γ	S_{11}	S_{12}	S_{21}	S_{22}	η	α	S_{11}	S_{12}	S_{21}	S_{22}
0.8	7.6	1.159	7	2.312	7.7	0.45					
0.7	7.7	1.201	7	2.167	7.8	0.45					
0.6	7.7	1.204	7.1	2.064	7.6	0.45					
0.5	7.8	1.147	7.3	1.912	7.5	0.45					
0.4	8	1.072	7.5	1.807	7.4	0.45					
0.3	8.1	1.022	7.6	1.738	7.7	0.45					
0.2	8.2	1.004	7.5	1.685	7.9	0.45					
0.1	8.3	2.24	7.7	1.609	8	0.45					

E K

$\gamma=0.44 \alpha=0.8$ için 1.pikin yer ve yükseklikleri						
x	y	S_{11}	y	S_{22}	y	S_{12}
0.8	7.5	1.132	6.9	2.147	7.2	0.421
0.7	7.6	1.208	6.9	2.015	7.2	0.498
0.6	7.7	1.293	7	1.886	7.3	0.551
0.5	7.8	1.391	7.1	1.752	7.4	0.585
0.4	7.9	1.506	7.2	1.614	7.5	0.600
0.3	8	1.645	7.3	1.473	7.6	0.593
0.2	8.2	1.822	7.4	1.326	7.8	0.555
0.1	8.3	2.060	7.5	1.169	7.9	0.456

$\gamma=0.45 \alpha=0.8$ için 1.pikin yer ve yükseklikleri						
x	y	S_{11}	y	S_{22}	y	S_{12}
0.8	7.5	1.140	6.9	2.229	7.2	0.453
0.7	7.6	1.221	7	2.086	7.3	0.532
0.6	7.7	1.312	7	1.939	7.3	0.586
0.5	7.8	1.416	7.1	1.798	7.4	0.621
0.4	7.9	1.537	7.2	1.651	7.5	0.636
0.3	8.1	1.687	7.3	1.500	7.7	0.631
0.2	8.2	1.878	7.3	1.334	7.8	0.591
0.1	8.4	2.133	7.6	1.179	8	0.486

$\gamma=0.46 \alpha=0.8$ için 1.pikin yer ve yükseklikleri						
x	y	S_{11}	y	S_{22}	y	S_{12}
0.8	7.6	1.150	7	2.312	7.2	0.486
0.7	7.7	1.236	7	2.160	7.3	0.571
0.6	7.7	1.332	7.1	2.005	7.4	0.628
0.5	7.9	1.442	7.2	1.847	7.5	0.663
0.4	8	1.572	7.3	1.689	7.6	0.679
0.3	8.1	1.732	7.4	1.528	7.7	0.671
0.2	8.2	1.934	7.5	1.363	7.9	0.627
0.1	8.4	2.216	7.7	1.189	8	0.517

$\gamma=0.47 \alpha=0.8$ için 1.pikin yer ve yükseklikleri						
x	y	S_{11}	y	S_{22}	y	S_{12}
0.8	7.6	1.161	7	2.413	7.2	0.519
0.7	7.7	1.252	7.1	2.237	7.3	0.610
0.6	7.8	1.354	7.1	2.067	7.4	0.670
0.5	7.9	1.471	7.2	1.900	7.5	0.707
0.4	8	1.609	7.3	1.730	7.6	0.721
0.3	8.1	1.777	7.4	1.558	7.8	0.712
0.2	8.3	1.998	7.6	1.382	7.9	0.668
0.1	8.4	2.299	7.7	1.199	8.1	0.552

$\zeta=0.44 \alpha=0.9$ için 1.pikin yer ve yükseklikleri

x	y	S_{11}	y	S_{22}	y	S_{12}
0.8	7.1	1.211	6.9	2.144	7	0.502
0.7	7.2	1.324	6.9	2.022	7	0.587
0.6	7.2	1.446	6.9	1.888	7.1	0.639
0.5	7.2	1.571	7	1.753	7.1	0.670
0.4	7.3	1.711	7	1.614	7.2	0.671
0.3	7.4	1.857	7.1	1.470	7.2	0.648
0.2	7.4	2.023	7.1	1.321	7.3	0.582
0.1	7.5	2.200	7.2	1.165	7.3	0.453

 $\zeta=0.45 \alpha=0.9$ için 1.pikin yer ve yükseklikleri

x	y	S_{11}	y	S_{22}	y	S_{12}
0.8	7.1	1.227	6.9	2.238	7	0.540
0.7	7.2	1.350	6.9	2.096	7.1	0.628
0.6	7.2	1.478	7	1.953	7.1	0.690
0.5	7.3	1.617	7	1.808	7.1	0.717
0.4	7.3	1.763	7.1	1.657	7.2	0.724
0.3	7.4	1.925	7.1	1.504	7.3	0.692
0.2	7.4	2.095	7.2	1.344	7.3	0.627
0.1	7.5	2.295	7.2	1.176	7.4	0.487

 $\zeta=0.46 \alpha=0.9$ için 1.pikin yer ve yükseklikleri

x	y	S_{11}	y	S_{22}	y	S_{12}
0.8	7.2	1.245	6.9	2.330	7	0.580
0.7	7.2	1.377	7	2.178	7.1	0.680
0.6	7.3	1.514	7	2.025	7.1	0.740
0.5	7.3	1.664	7.1	1.865	7.2	0.774
0.4	7.4	1.821	7.1	1.707	7.2	0.775
0.3	7.4	1.994	7.2	1.539	7.3	0.748
0.2	7.5	2.184	7.2	1.369	7.4	0.670
0.1	7.5	2.388	7.3	1.189	7.4	0.524

 $\zeta=0.47 \alpha=0.9$ için 1.pikin yer ve yükseklikleri

x	y	S_{11}	y	S_{22}	y	S_{12}
0.8	7.2	1.264	7	2.431	7.1	0.628
0.7	7.2	1.404	7	2.270	7.1	0.732
0.6	7.3	1.556	7.1	2.097	7.2	0.797
0.5	7.3	1.711	7.1	1.933	7.2	0.832
0.4	7.4	1.886	7.2	1.755	7.3	0.835
0.3	7.5	2.068	7.2	1.580	7.3	0.802
0.2	7.5	2.275	7.3	1.395	7.4	0.725
0.1	7.6	2.504	7.3	1.203	7.5	0.562

KAYNAKLAR

- [1] Egelstaff, P.A.,
"An Introduction to the Liquid State"
Ac.Press. New York and London (1967).
- [2] March, N.H.,
"Liquid Metals", Pergamon Press, Oxford (1967).
- [3] March, N.H. and Tosi, M.P.,
"Atomic Dynamics in Liquids", Macmillan Press (1976).
- [4] Hansen, J.P. and McDonald, I.R.,
"Theory of Simple Liquids" Ac.Press London (1976).
- [5] Waseda, Y.,
"The Structure of Non-Crystalline Materials",
Mc Graw-Hill Inc (1980).
- [6] March, N.H., Street, R.A. and Tosi, M.P.,
"Amorphous Solids and the Liquid State",
Plenum Press (1985).
- [7] Iida, T. and Guthrie, R.I.L.,
"The Physical Properties of Liquid Metals",
Clarendon Press. Oxford (1988).
- [8] Wertheim, M.S., Physical Review Letters,
10, 321 (1963).
- [9] Thiele, E., The Journal of Chemical Physics,
39, 474 (1963).
- [10] Ashcroft, N.M. and Lecker, J.,
Phys.Rev. 145, 83 (1966).

[11] Lebowitz, J.L. Phys.Rev. 133, A895 (1964).

[12] Ashcroft, N.W. and Langreth, D.C.,

Phys.Rev. 156, 685 (1967).



